

9 Tabellenanhang

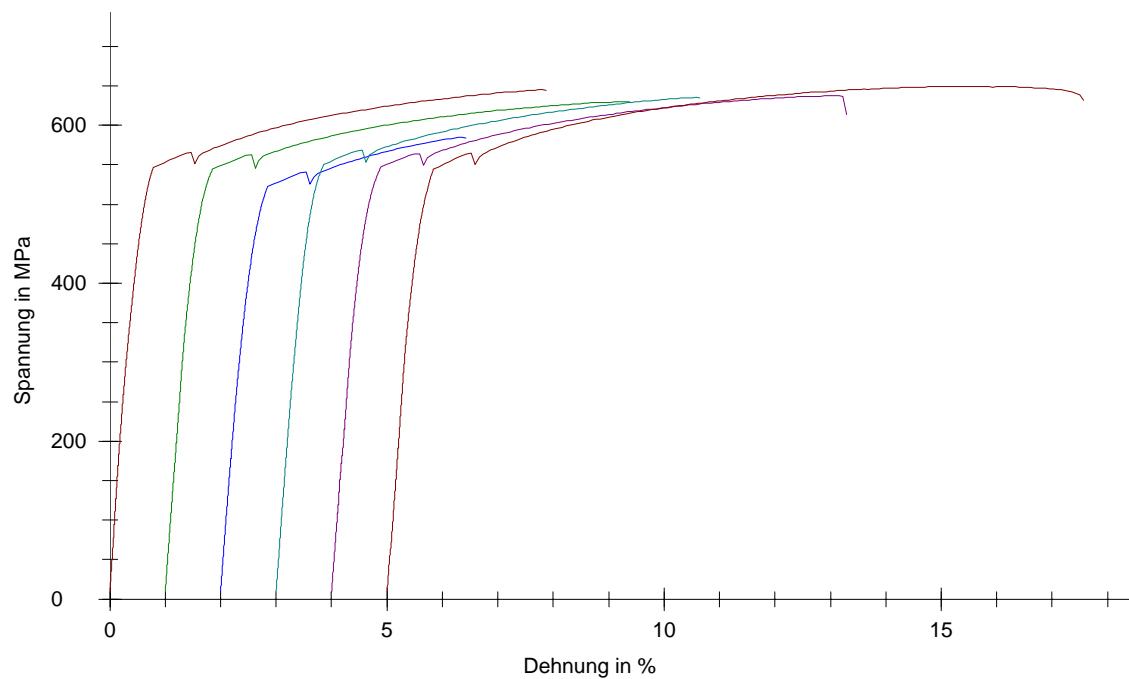
Material : BioPontoStar **Gießmaschine** : Fundor T

Chargen – Nr. : 128740 **Prüfnorm** : DIN EN 10002-1

Ergebnisse:

Nr	EMod GPa	Rp 0.2 MPa	Rm MPa	Bruchdehnung %	Durchmesser d0 mm
max		---		---	
min		250,00		3,00	
1	105,66	521,38	644,97	7,88	3,03
2	92,34	527,07	630,18	8,38	3,05
3	88,02	502,90	585,34	4,44	3,05
4	92,71	532,87	635,26	7,66	3
5	86,26	532,26	637,69	9,31	3,02
6	96,54	524,02	649,44	12,57	3

Seriengrafik:



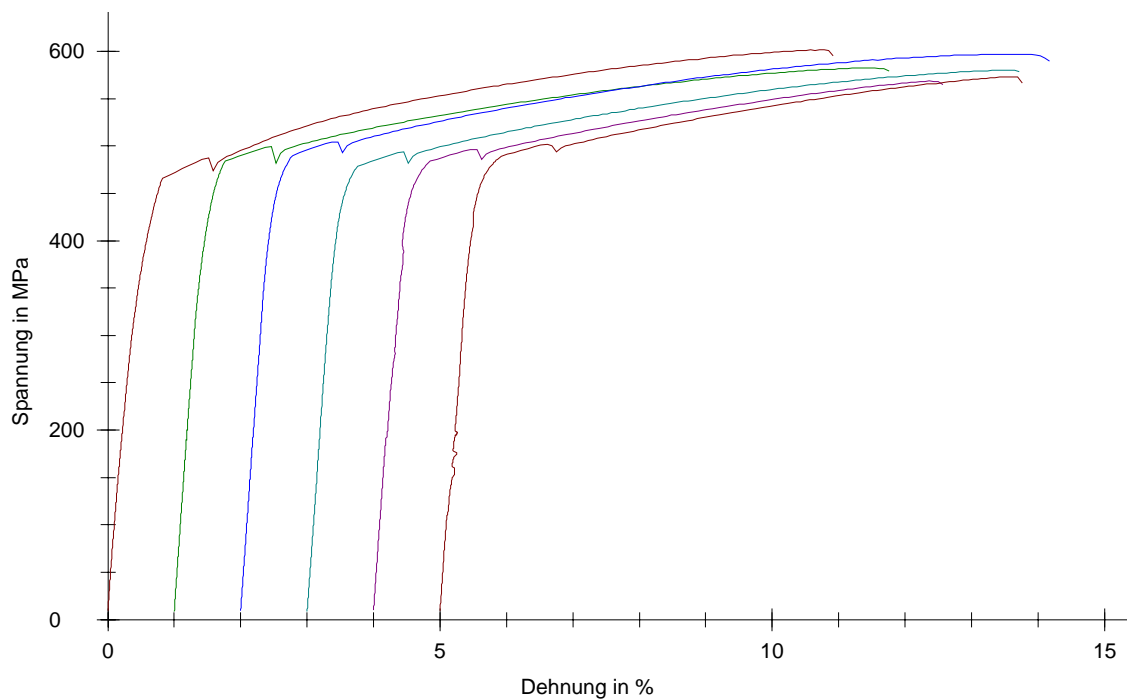
Tab. 40.1: Messprotokoll des Zugversuchs Serie 1

Material : PontoLloyd G **Gießmaschine** : Fundor T
Chargen – Nr. : 128670 **Prüfnorm** : DIN EN 10002-1

Ergebnisse:

Nr	EMod GPa	Rp 0.2 MPa	Rm MPa	Bruchdehnung %	Durchmesser d0 mm
max		---		---	
min		250,00		3,00	
1	80,48	443,61	601,44	10,95	3
2	97,10	469,19	582,61	10,77	3,05
3	99,01	477,56	597,17	12,18	3,02
4	100,32	467,13	580,20	10,72	3,05
5	82,97	475,80	568,53	8,60	3,01
6	75,05	481,66	573,29	8,81	3,01

Seriengrafik:



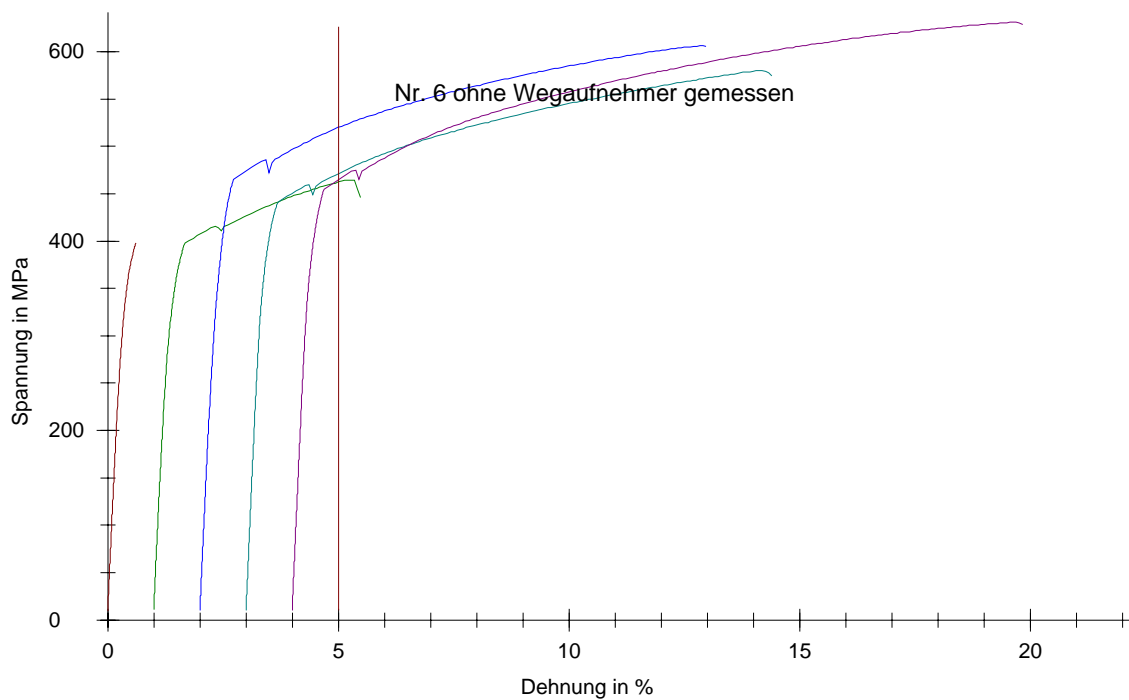
Tab. 40.2: Messprotokoll des Zugversuchs Serie 2

Material : PontoLloyd L **Gießmaschine** : Fundor T
Chargen – Nr. : 127900 **Prüfnorm** : DIN EN 10002-1

Ergebnisse:

Nr	EMod GPa	Rp 0.2 MPa	Rm MPa	Bruchdehnung %	Durchmesser d0 mm
max		---		---	
min		250,00		3,00	
1	100,57	392,54	397,87	<0,62	3,03
2	95,79	382,07	464,65	4,50	3,02
3	100,83	445,92	606,27	10,99	3,02
4	106,61	424,03	580,08	11,40	3,01
5	109,36	436,44	631,02	15,84	3,01
6	84073,71	-	626,63	<0,00	3,05

Seriengrafik:



Tab. 40.3: Messprotokoll des Zugversuchs Serie 3

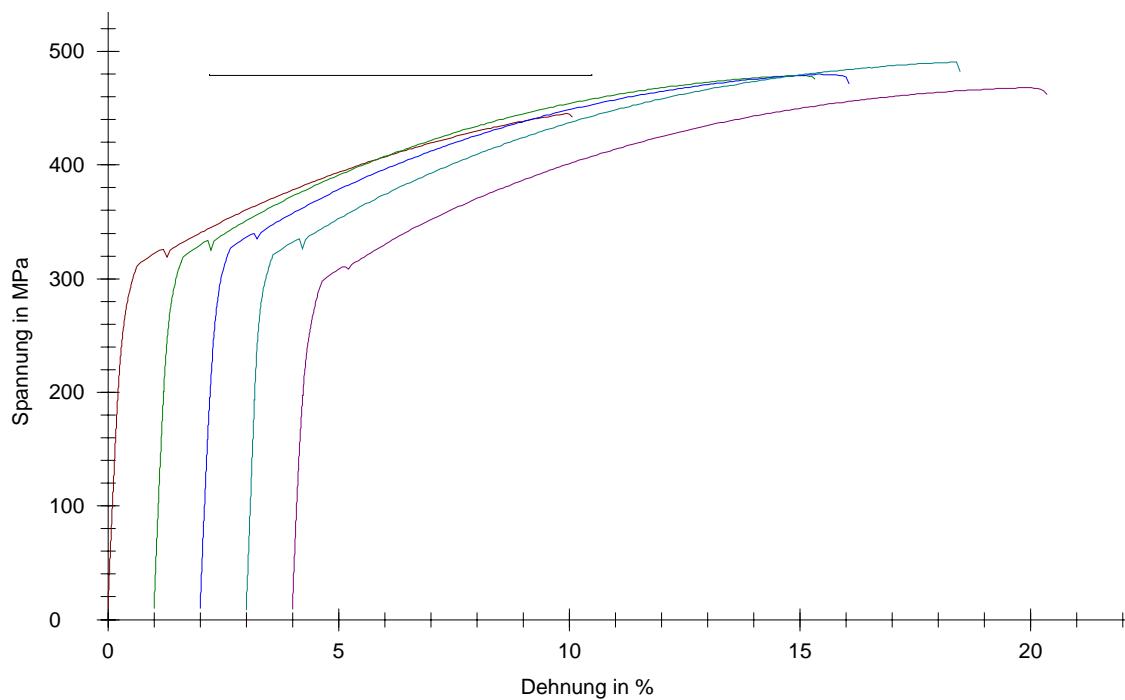
Material : BioPlatinLloyd **Gießmaschine** : Fundor T

Chargen – Nr. : 128580 **Prüfnorm** : DIN EN 10002-1

Ergebnisse:

Nr	EMod GPa	Rp 0.2 MPa	Rm MPa	Bruchdehnung %	Durchmesser d0 mm
max		---		---	
min		250,00		3,00	
1	91,44	304,91	449,74	9,54	3,04
2	80,85	300,65	445,16	10,09	3,07
3	85,45	308,16	478,79	14,35	3,05
4	81,66	316,17	479,91	14,09	3,05
5	103,04	310,03	490,69	15,48	3,01
6	72,45	286,14	468,01	16,40	3,08

Seriengrafik:



Tab. 40.4: Messprotokoll des Zugversuchs Serie 4

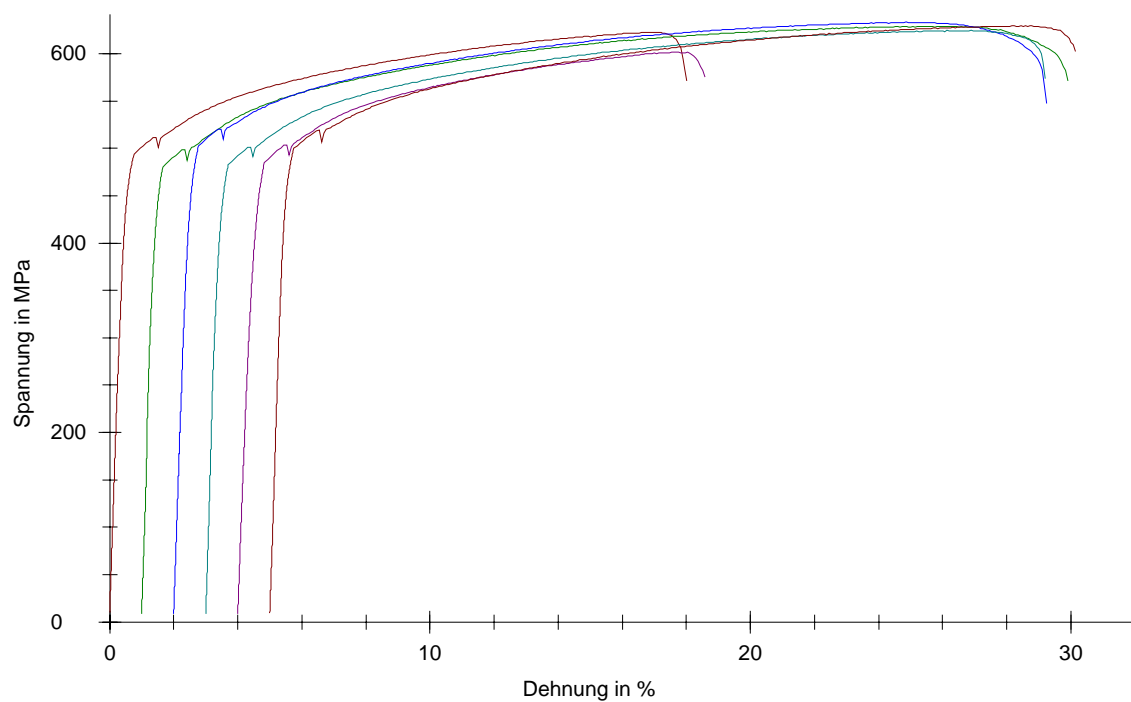
Material : PlatinLloyd 100 **Gießmaschine** : Fundor T

Chargen – Nr. : 128790 **Prüfnorm** : DIN EN 10002-1

Ergebnisse:

Nr	EMod GPa	Rp 0.2 MPa	Rm MPa	Bruchdehnung %	Durchmesser d0 mm
max		---		---	
min		250,00		3,00	
1	103,32	478,26	622,55	18,03	3
2	130,84	461,60	628,97	28,89	3,03
3	98,48	487,86	633,28	27,25	3,03
4	115,36	464,16	624,43	26,21	3,05
5	84,00	468,24	601,50	14,60	3,04
6	105,55	486,36	629,40	25,15	3,04

Seriengrafik:



Tab. 40.5: Messprotokoll des Zugversuchs Serie 5

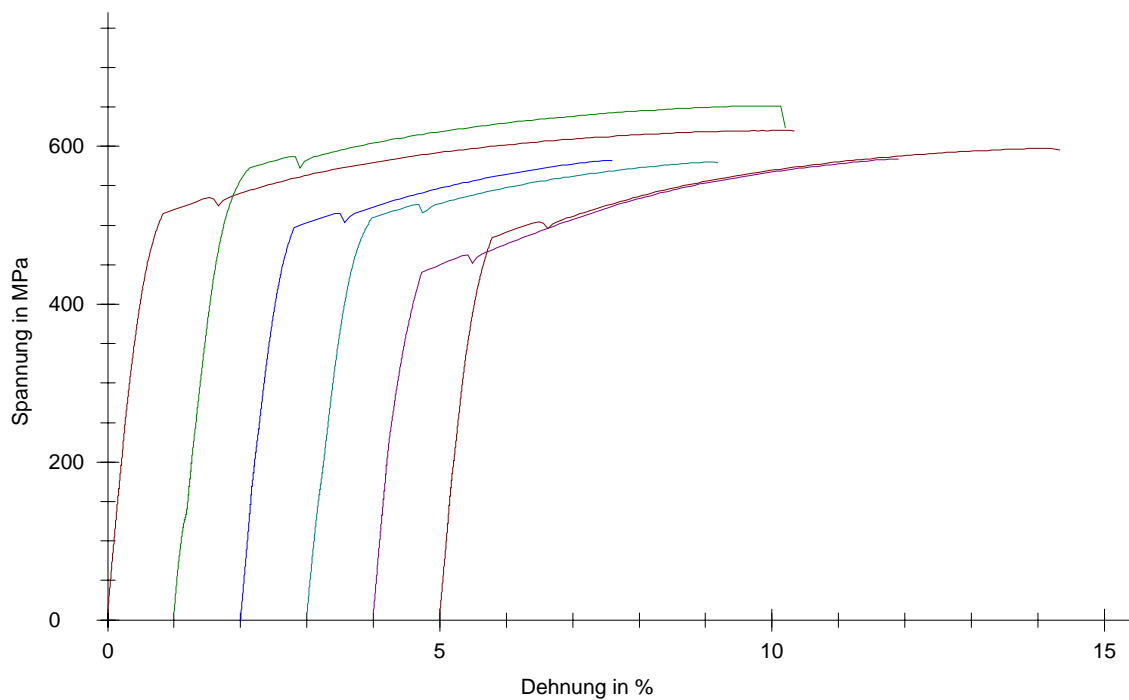
Material : BioPontoStar **Gießmaschine** : Fornax G

Chargen – Nr. : 128740 **Prüfnorm** : DIN EN 10002-1

Ergebnisse:

Nr	EMod GPa	Rp 0.2 MPa	Rm MPa	Bruchdehnung %	Durchmesser d0 mm
max		---		---	
min		250,00		3,00	
1	88,66	495,58	620,27	10,36	3,02
2	64,16	560,19	651,45	9,25	2,97
3	90,75	475,68	582,30	5,60	3,02
4	69,22	494,34	580,16	6,22	3,06
5	92,02	412,95	584,16	7,92	3,03
6	90,49	463,10	597,36	9,34	3,02

Seriengrafik:



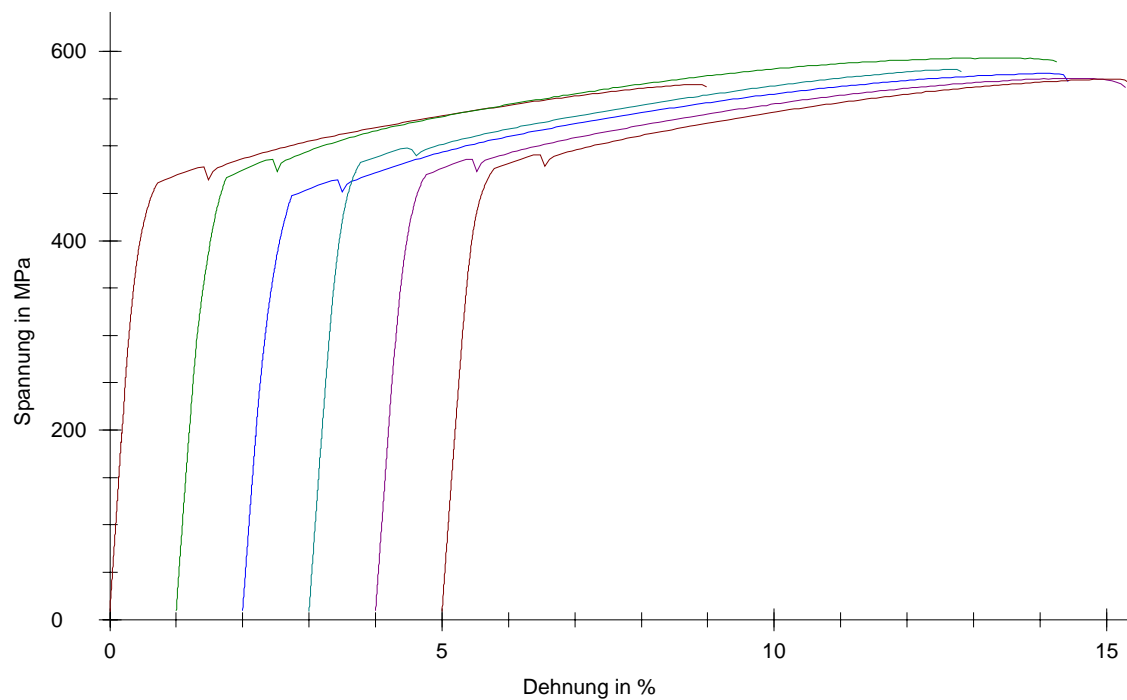
Tab. 40.6: Messprotokoll des Zugversuchs Serie 6

Material : PontoLloyd G **Gießmaschine** : Fornax G
Chargen – Nr. : 128670 **Prüfnorm** : DIN EN 10002-1

Ergebnisse:

Nr	EMod GPa	Rp 0.2 MPa	Rm MPa	Bruchdehnung %	Durchmesser d0 mm
max		---		---	
min		250,00		3,00	
1	103,49	446,32	565,04	8,99	3,03
2	94,45	446,36	593,02	13,27	3
3	92,20	427,08	576,70	12,44	3,03
4	95,97	469,03	580,73	9,83	3,01
5	99,04	453,87	571,58	11,29	3,05
6	95,35	463,34	570,74	10,36	3,03

Seriengrafik:



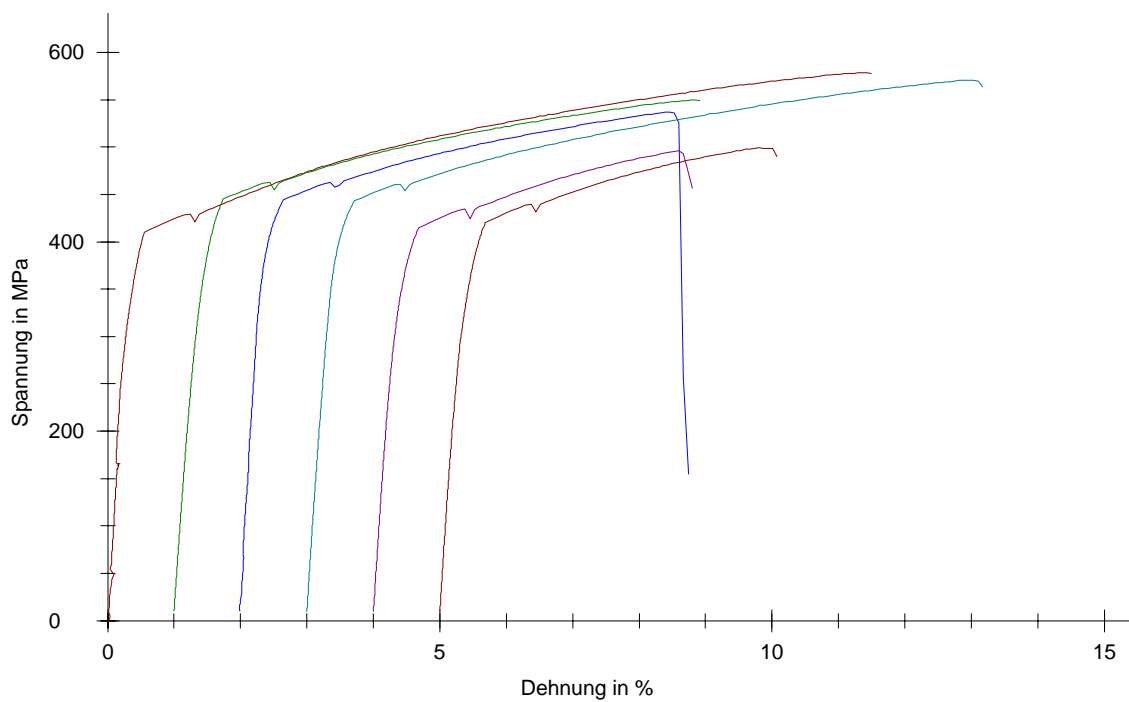
Tab. 40.7: Messprotokoll des Zugversuchs Serie 7

Material : PontoLloyd L **Gießmaschine** : Fornax G
Chargen – Nr. : 127900 **Prüfnorm** : DIN EN 10002-1

Ergebnisse:

Nr	EMod GPa	Rp 0.2 MPa	Rm MPa	Bruchdehnung %	Durchmesser d0 mm
max		---		---	
min		250,00		3,00	
1	162,24	385,81	578,54	11,47	3
2	93,13	426,75	549,37	7,93	3,06
3	115,14	429,47	536,89	-	3,02
4	98,68	429,42	570,87	10,19	3
5	98,96	397,10	496,07	4,81	3,06
6	97,54	402,04	499,49	5,10	3,03

Seriengrafik:



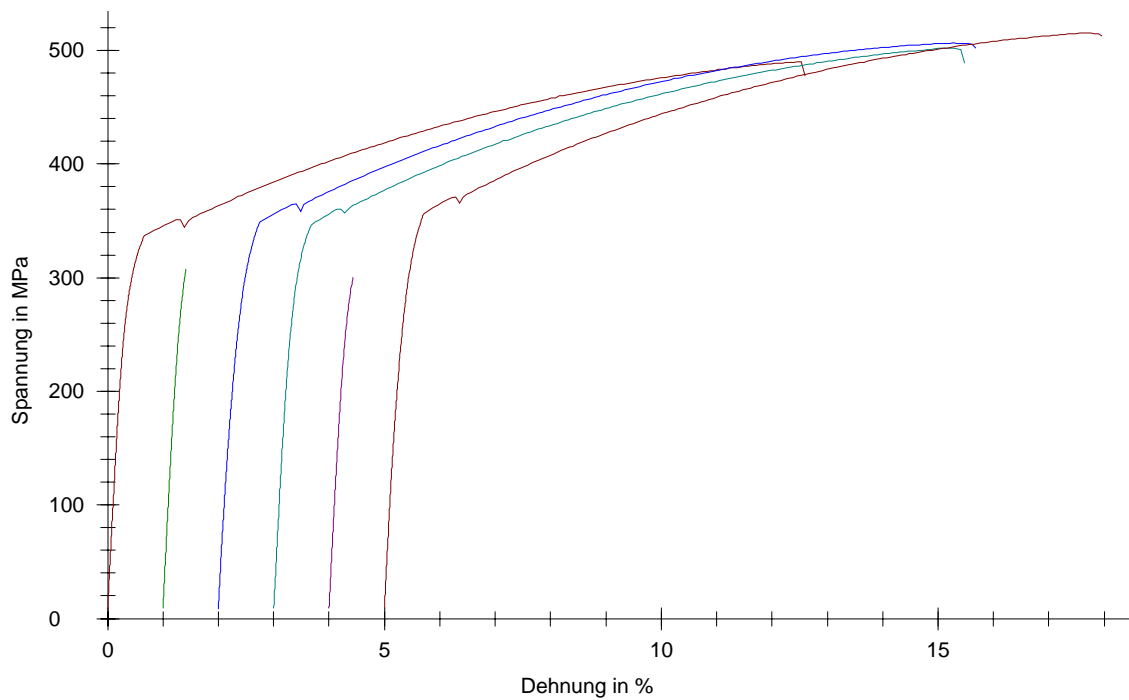
Tab. 40.8: Messprotokoll des Zugversuchs Serie 8

Material : BioPlatinLloyd **Gießmaschine** : Fornax G
Chargen – Nr. : 128580 **Prüfnorm** : DIN EN 10002-1

Ergebnisse:

Nr	EMod GPa	Rp 0.2 MPa	Rm MPa	Bruchdehnung %	Durchmesser d0 mm
max		---		---	
min		250,00		3,00	
1	84,95	323,95	490,07	12,62	3,08
2	86,84	-	307,98	<0,44	3,08
3	67,64	335,93	506,46	13,72	3,04
4	82,10	333,92	502,13	12,51	3,05
5	82,99	-	300,48	<0,46	3,04
6	75,93	342,37	515,24	12,99	3,01

Seriengrafik:



Tab. 40.9: Messprotokoll des Zugversuchs Serie 9

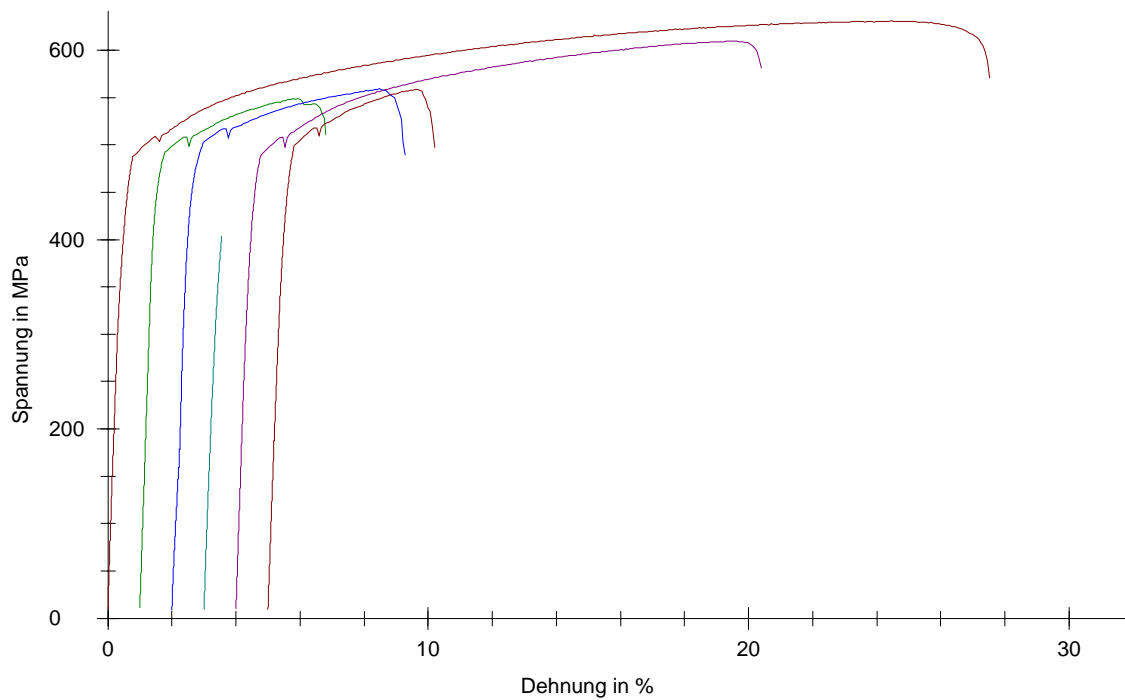
Material : PlatinLloyd 100 **Gießmaschine** : Fornax G

Chargen – Nr. : 128790 **Prüfnorm** : DIN EN 10002-1

Ergebnisse:

Nr	EMod GPa	Rp 0.2 MPa	Rm MPa	Bruchdehnung %	Durchmesser d0 mm
max		---		---	
min		250,00		3,00	
1	95,31	466,08	630,91	27,54	3
2	99,55	478,08	548,57	5,83	3,03
3	69,20	493,21	559,03	7,32	3,03
4	84,55	-	403,26	<0,57	3
5	98,17	470,11	609,75	16,40	3,03
6	90,37	479,56	558,38	5,22	3,01

Seriengrafik:



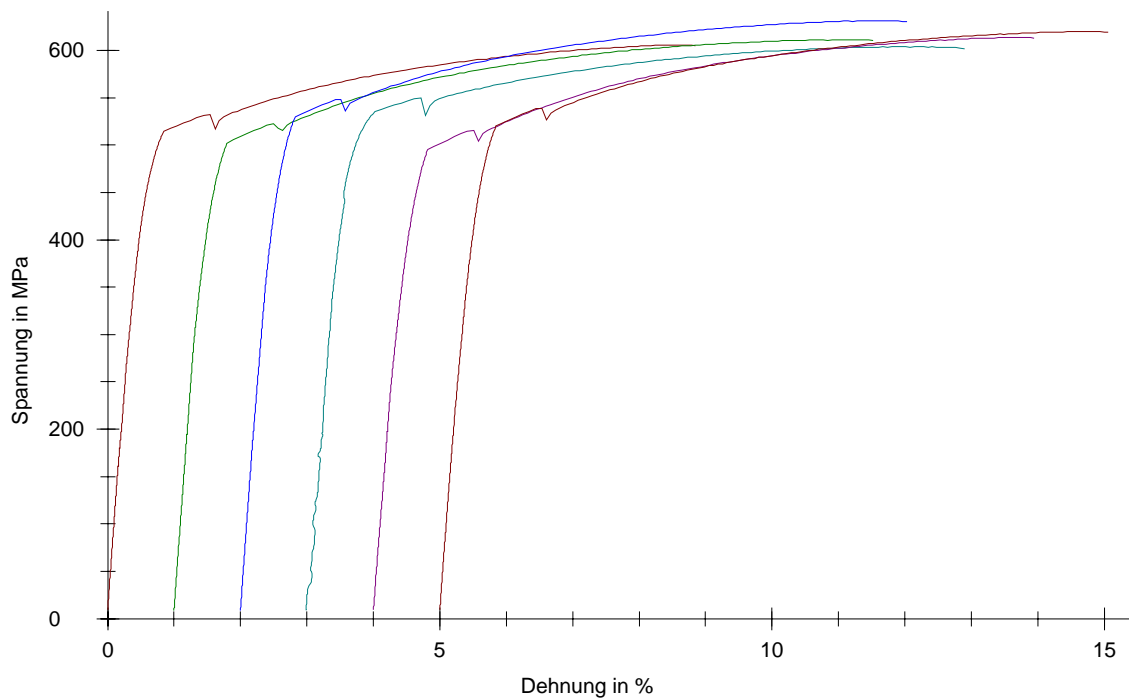
Tab. 40.10: Messprotokoll des Zugversuchs Serie 10

Material : BioPontoStar **Gießmaschine** : Fornax T
Chargen – Nr. : 128740 **Prüfnorm** : DIN EN 10002-1

Ergebnisse:

Nr	EMod GPa	Rp 0.2 MPa	Rm MPa	Bruchdehnung %	Durchmesser d0 mm
max		---		---	
min		250,00		3,00	
1	87,88	497,39	605,97	8,87	3,03
2	93,88	481,40	611,32	10,54	3,01
3	94,62	510,00	631,57	10,05	2,97
4	69,66	524,72	604,02	9,95	3,06
5	89,54	471,68	613,95	9,96	3,02
6	89,36	499,21	620,19	10,08	3,02

Seriengrafik:



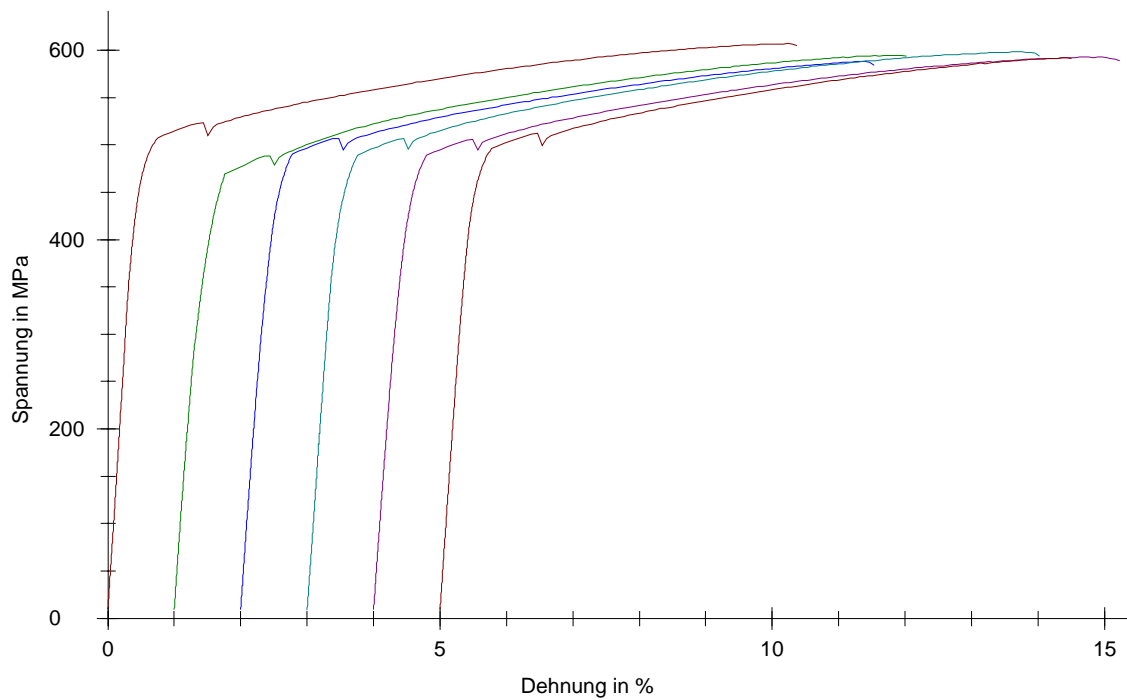
Tab. 40.11: Messprotokoll des Zugversuchs Serie 11

Material : PontoLloyd G **Gießmaschine** : Fornax T
Chargen – Nr. : 128670 **Prüfnorm** : DIN EN 10002-1

Ergebnisse:

Nr	EMod GPa	Rp 0.2 MPa	Rm MPa	Bruchdehnung %	Durchmesser d0 mm
max		---		---	
min		250,00		3,00	
1	110,67	495,01	606,88	10,38	2,97
2	92,40	446,25	594,61	11,04	3,01
3	95,65	475,08	587,99	9,55	3,01
4	102,75	472,23	598,48	11,03	3
5	94,21	472,47	592,75	11,25	3,03
6	100,97	482,66	592,02	9,51	2,99

Seriengrafik:



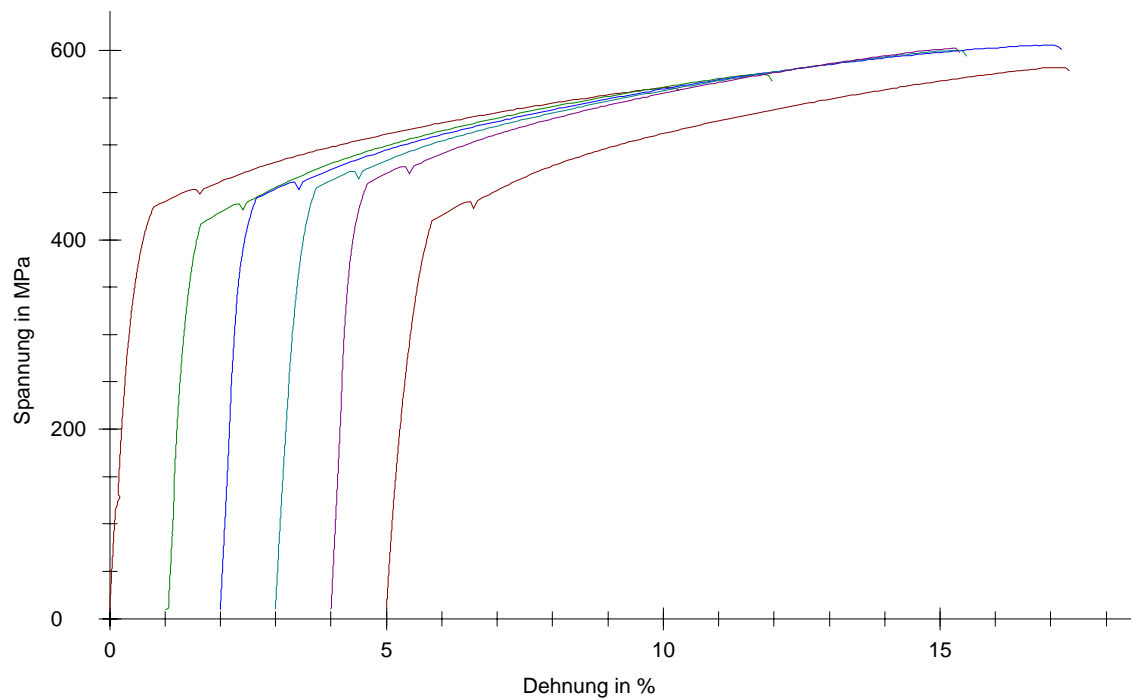
Tab. 40.12: Messprotokoll des Zugversuchs Serie 12

Material : PontoLloyd L **Gießmaschine** : Fornax T
Chargen – Nr. : 127900 **Prüfnorm** : DIN EN 10002-1

Ergebnisse:

Nr	EMod GPa	Rp 0.2 MPa	Rm MPa	Bruchdehnung %	Durchmesser d0 mm
max		---		---	
min		250,00		3,00	
1	78,20	419,26	560,70	10,33	3,04
2	138,43	394,39	574,89	10,90	2,99
3	118,97	428,08	605,71	15,20	3,02
4	95,57	437,17	599,92	12,50	3,01
5	118,38	445,55	602,21	11,36	3
6	70,22	399,57	581,94	12,38	2,99

Seriengrafik:



Tab. 40.13: Messprotokoll des Zugversuchs Serie 13

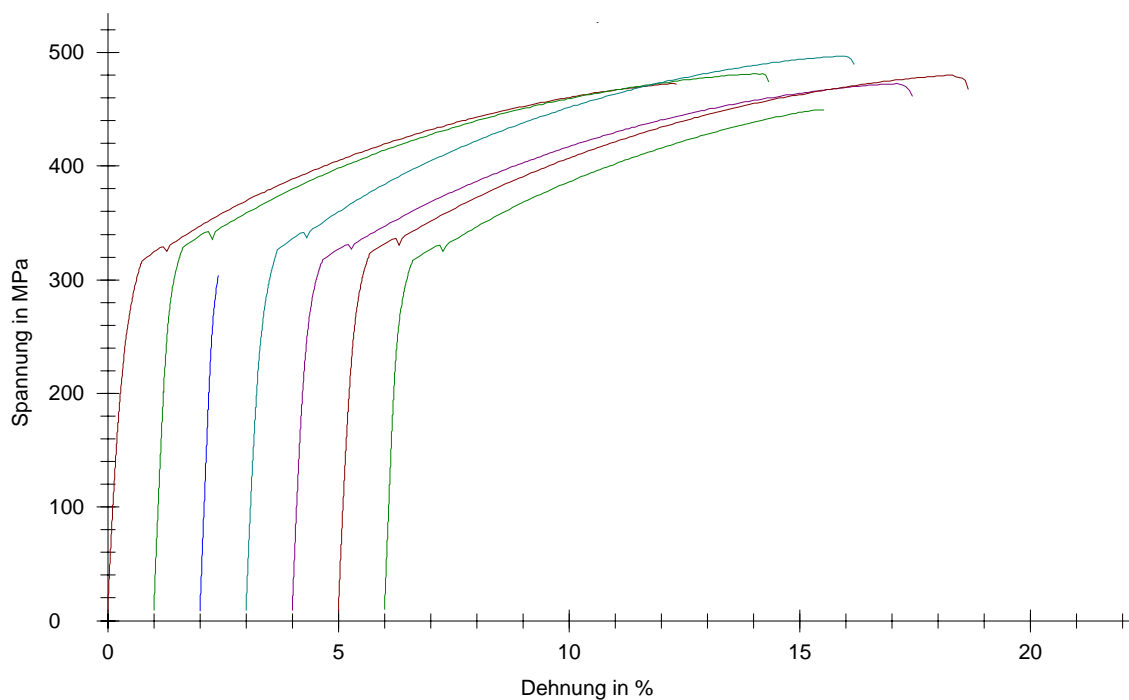
Material : BioPlatinLloyd **Gießmaschine** : Fornax T

Chargen – Nr. : 128580 **Prüfnorm** : DIN EN 10002-1

Ergebnisse:

Nr	EMod GPa	Rp 0.2 MPa	Rm MPa	Bruchdehnung %	Durchmesser d0 mm
max		---		---	
min		250,00		3,00	
1	60,34	303,95	472,59	12,39	3,05
2	86,77	317,83	481,22	13,35	3,07
3	97,27	-	303,48	<0,41	3
4	74,35	312,92	496,62	13,22	3
5	77,33	306,07	472,59	13,47	3,04
6	74,05	311,34	480,15	13,69	3,05
7	91,44	304,91	449,74	9,54	3,04

Seriengrafik:



Tab. 40.14: Messprotokoll des Zugversuchs Serie 14

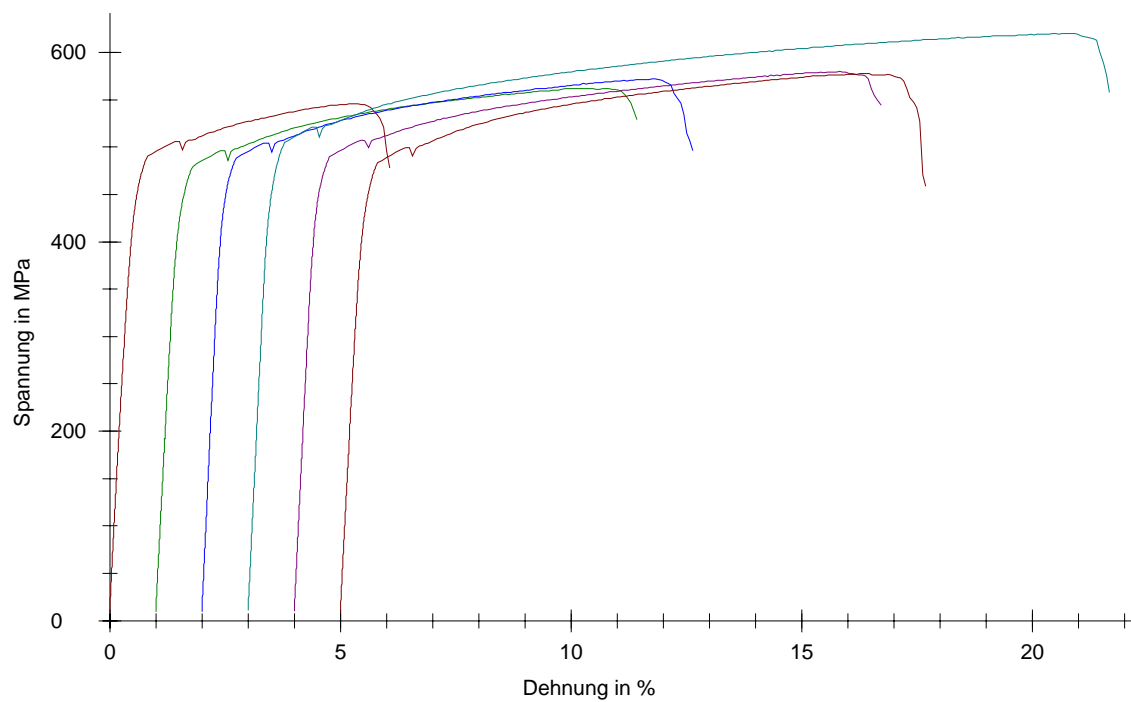
Material : PlatinLloyd 100 **Gießmaschine** : Fornax T

Chargen – Nr. : 128790 **Prüfnorm** : DIN EN 10002-1

Ergebnisse:

Nr	EMod GPa	Rp 0.2 MPa	Rm MPa	Bruchdehnung %	Durchmesser d0 mm
max		---		---	
min		250,00		3,00	
1	90,50	475,71	545,92	6,09	3,01
2	91,79	465,68	561,97	10,45	3,05
3	106,03	475,57	571,85	10,65	3,02
4	101,29	489,56	620,04	18,68	2,96
5	100,11	477,85	579,73	12,72	3,05
6	91,73	468,69	577,73	12,71	3,04

Seriengrafik:



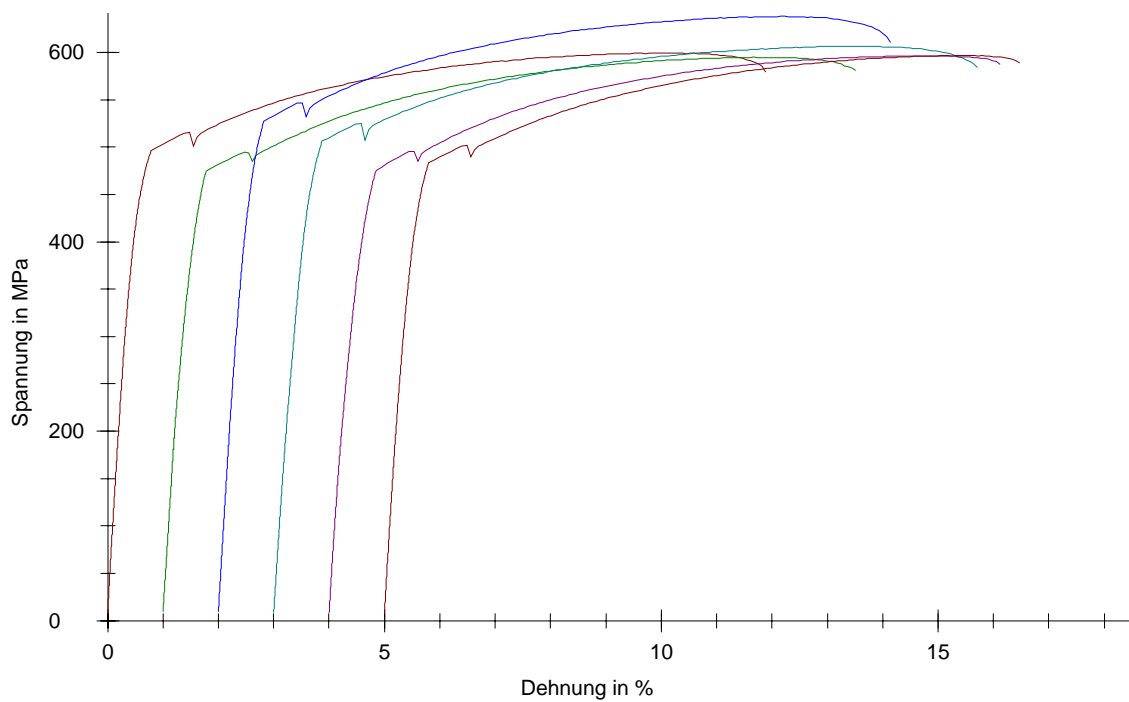
Tab. 40.15: Messprotokoll des Zugversuchs Serie 15

Material : BioPontoStar **Gießmaschine** : Nautilus MC +
Chargen – Nr. : 128740 **Prüfnorm** : DIN EN 10002-1

Ergebnisse:

Nr	EMod GPa	Rp 0.2 MPa	Rm MPa	Bruchdehnung %	Durchmesser d0 mm
max		---		---	
min		250,00		3,00	
1	94,44	477,92	599,46	11,91	3,03
2	91,62	449,84	594,88	12,53	3,03
3	93,76	505,60	638,32	12,15	2,96
4	80,74	487,57	606,37	12,73	3,04
5	78,39	452,50	596,35	12,15	3,03
6	89,46	462,70	596,83	11,49	3,02

Seriengrafik:



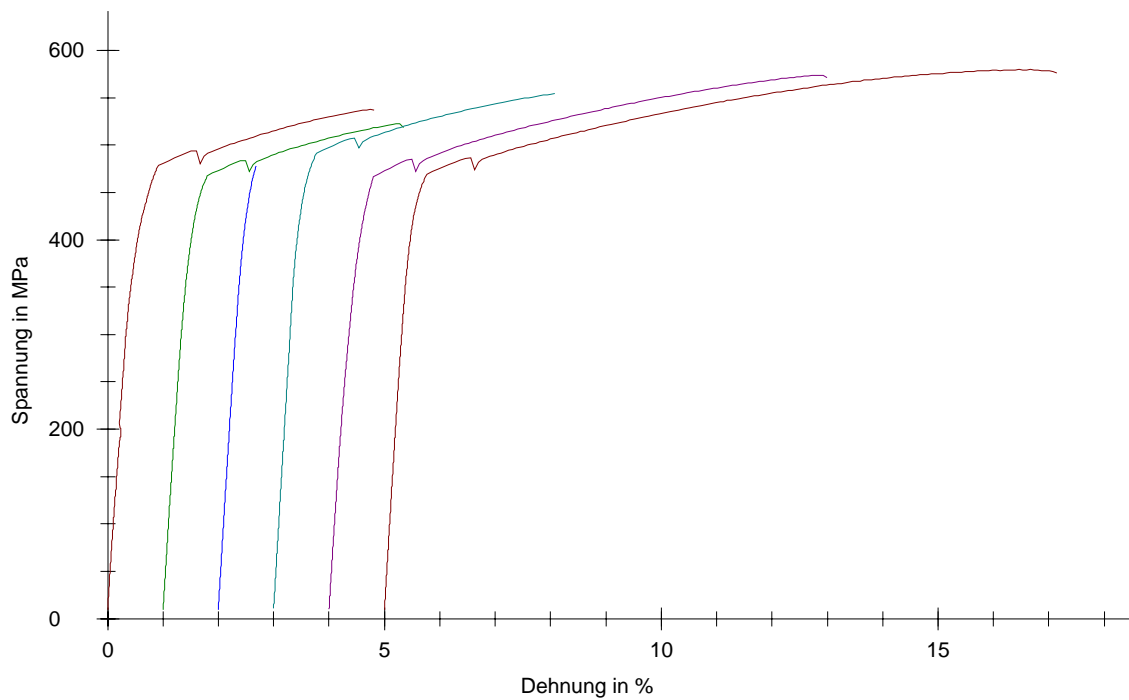
Tab. 40.16: Messprotokoll des Zugversuchs Serie 16

Material : PontoLloyd G **Gießmaschine** : Nautilus MC +
Chargen – Nr. : 128670 **Prüfnorm** : DIN EN 10002-1

Ergebnisse:

Nr	EMod GPa	Rp 0.2 MPa	Rm MPa	Bruchdehnung %	Durchmesser d0 mm
max		---		---	
min		250,00		3,00	
1	70,86	464,65	537,77	4,85	3,04
2	89,56	451,37	522,64	4,36	3,05
3	93,86	-	477,58	<0,69	3,04
4	97,80	478,38	554,15	5,09	3,03
5	84,76	446,35	573,94	9,02	3,02
6	95,37	456,14	579,71	12,15	3,04

Seriengrafik:



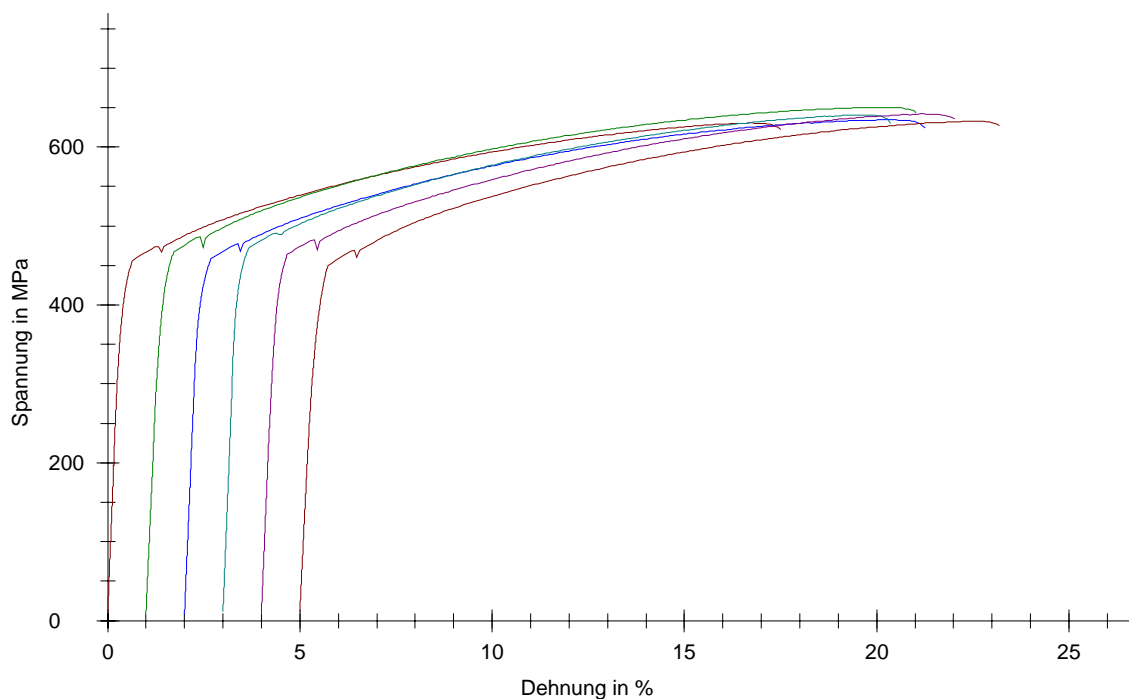
Tab. 40.17: Messprotokoll des Zugversuchs Serie 17

Material : PontoLloyd L **Gießmaschine** : Nautilus MC +
Chargen – Nr. : 127900 **Prüfnorm** : DIN EN 10002-1

Ergebnisse:

Nr	EMod GPa	Rp 0.2 MPa	Rm MPa	Bruchdehnung %	Durchmesser d0 mm
max		---		---	
min		250,00		3,00	
1	124,15	441,31	630,56	17,51	3,02
2	105,39	451,27	650,57	20,04	3,01
3	113,30	444,06	634,70	19,26	3,03
4	119,96	459,66	640,81	17,37	3
5	115,28	450,00	642,00	18,03	3
6	96,67	430,79	632,68	18,21	3,03

Seriengrafik:



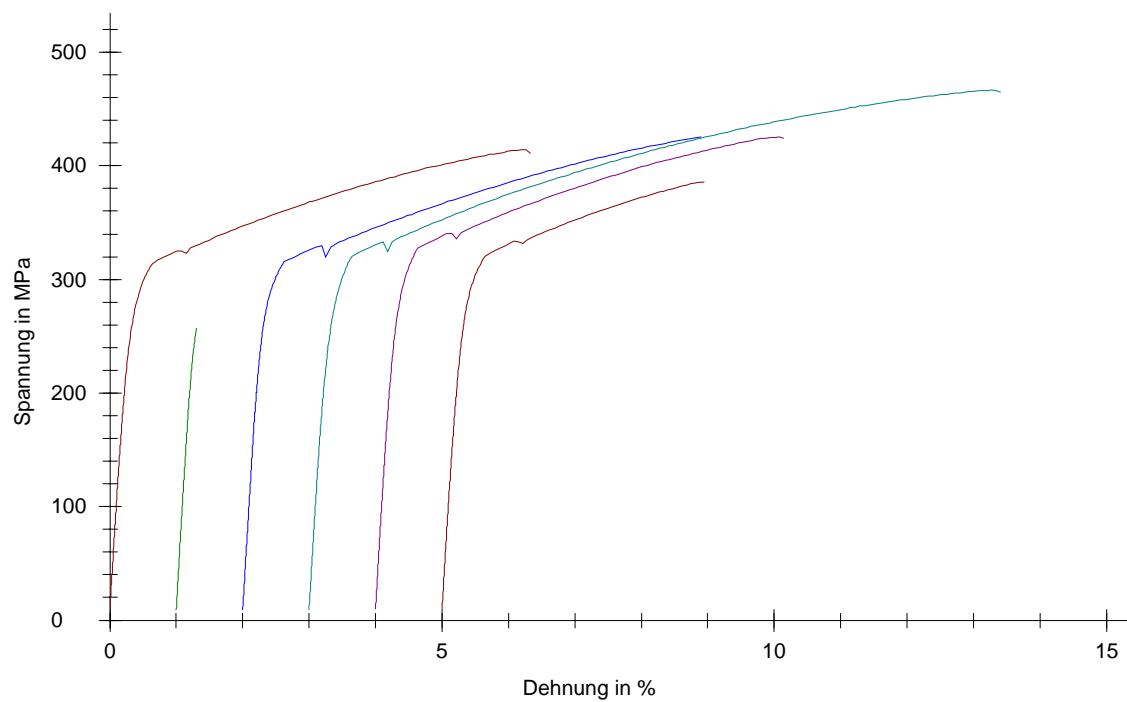
Tab. 40.18: Messprotokoll des Zugversuchs Serie 18

Material : BioPlatinLloyd **Gießmaschine** : Nautilus MC +
Chargen – Nr. : 128580 **Prüfnorm** : DIN EN 10002-1

Ergebnisse:

Nr	EMod GPa	Rp 0.2 MPa	Rm MPa	Bruchdehnung %	Durchmesser d0 mm
max		---		---	
min		250,00		3,00	
1	81,95	303,95	414,43	6,36	3,05
2	91,05	-	257,11	<0,32	3,01
3	89,20	304,99	425,41	6,92	3,02
4	82,10	308,71	466,49	10,44	3,01
5	86,99	316,59	425,48	6,16	3,01
6	82,04	310,31	385,61	3,98	3,01

Seriengrafik:



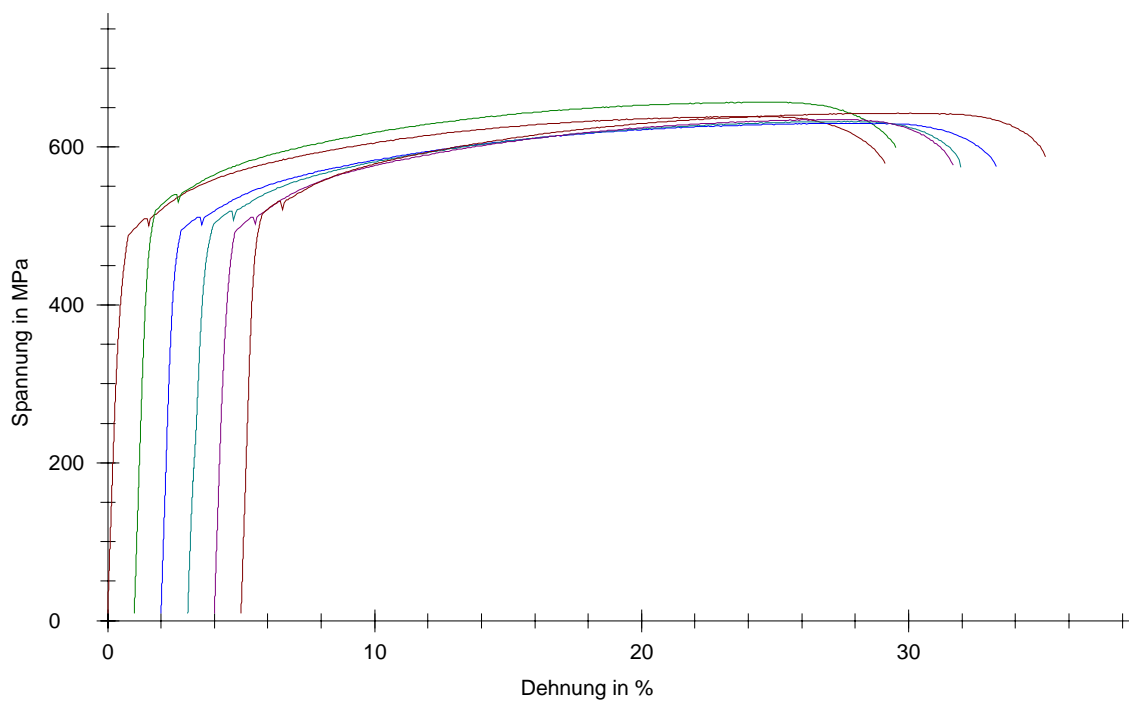
Tab. 40.19: Messprotokoll des Zugversuchs Serie 19

Material : PlatinLloyd 100 **Gießmaschine** : Nautilus MC +
Chargen – Nr. : 128790 **Prüfnorm** : DIN EN 10002-1

Ergebnisse:

Nr	EMod GPa	Rp 0.2 MPa	Rm MPa	Bruchdehnung %	Durchmesser d0 mm
max		---		---	
min		250,00		3,00	
1	95,33	466,81	638,88	29,13	3,03
2	99,17	504,35	657,04	28,53	2,99
3	100,07	480,13	630,38	31,29	3,04
4	69,48	488,50	632,66	29,00	3,01
5	96,79	473,70	635,21	27,67	3,01
6	101,33	500,89	643,16	30,13	3

Seriengrafik:



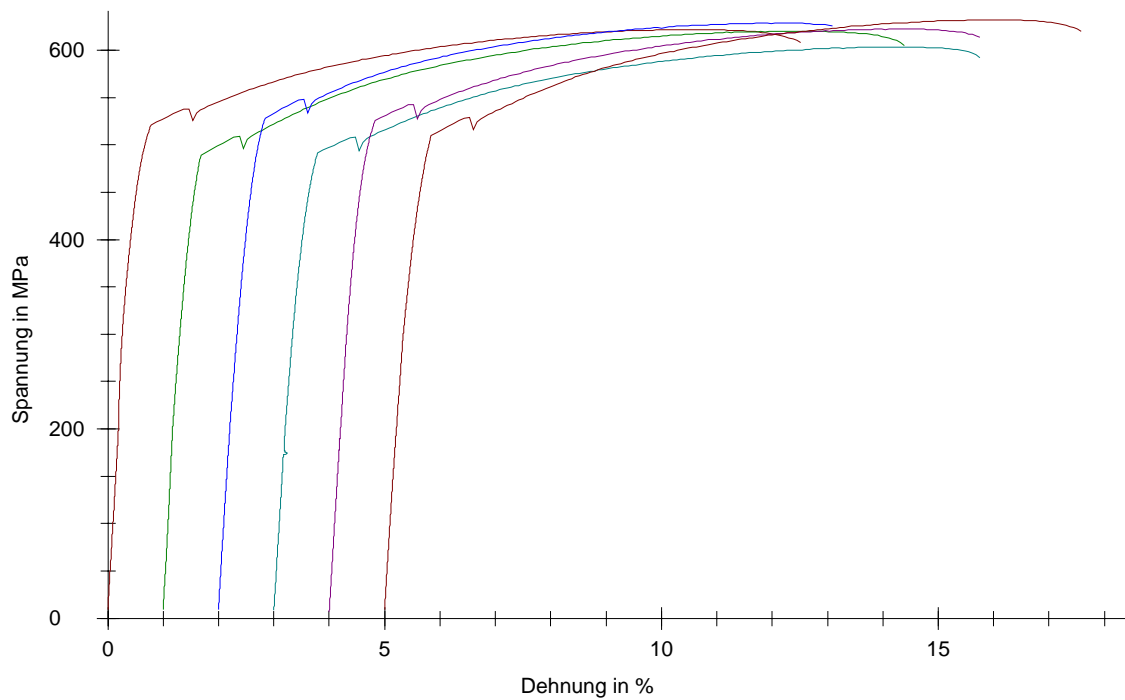
Tab. 40.20: Messprotokoll des Zugversuchs Serie 20

Material : BioPontoStar **Gießmaschine** : Nautilus T
Chargen – Nr. : 128740 **Prüfnorm** : DIN EN 10002-1

Ergebnisse:

Nr	EMod GPa	Rp 0.2 MPa	Rm MPa	Bruchdehnung %	Durchmesser d0 mm
max		---		---	
min		250,00		3,00	
1	101,91	504,42	621,98	12,51	3,01
2	119,81	459,03	620,31	13,38	3
3	90,16	507,10	628,75	11,10	3
4	93,24	468,23	603,45	12,76	3,06
5	93,00	508,05	622,41	11,76	3,01
6	86,00	485,25	632,24	12,60	3,01

Seriengrafik:



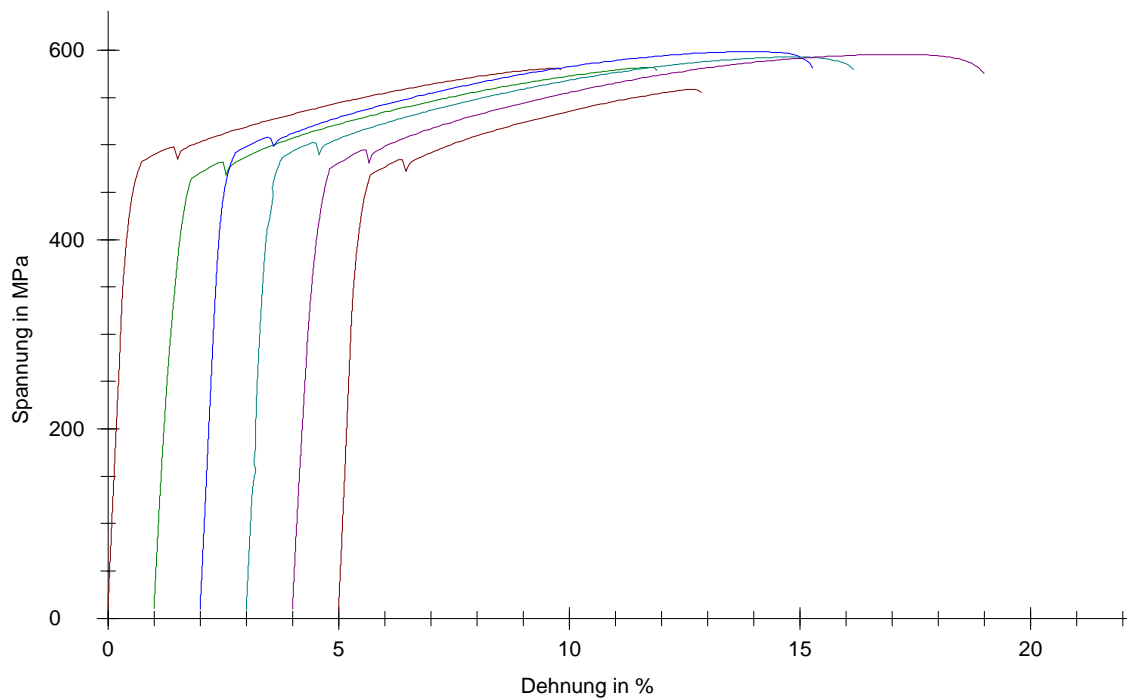
Tab. 40.21: Messprotokoll des Zugversuchs Serie 21

Material : PontoLloyd G **Gießmaschine** : Nautilus T
Chargen – Nr. : 128670 **Prüfnorm** : DIN EN 10002-1

Ergebnisse:

Nr	EMod GPa	Rp 0.2 MPa	Rm MPa	Bruchdehnung %	Durchmesser d0 mm
max		---		---	
min		250,00		3,00	
1	104,89	469,15	581,11	9,83	3,02
2	83,43	446,47	581,81	10,93	3,02
3	101,85	479,58	598,68	13,28	3,01
4	93,51	477,37	592,93	13,19	3,03
5	85,23	456,56	595,65	15,02	3,03
6	111,94	453,55	558,90	7,87	3,04

Seriengrafik:



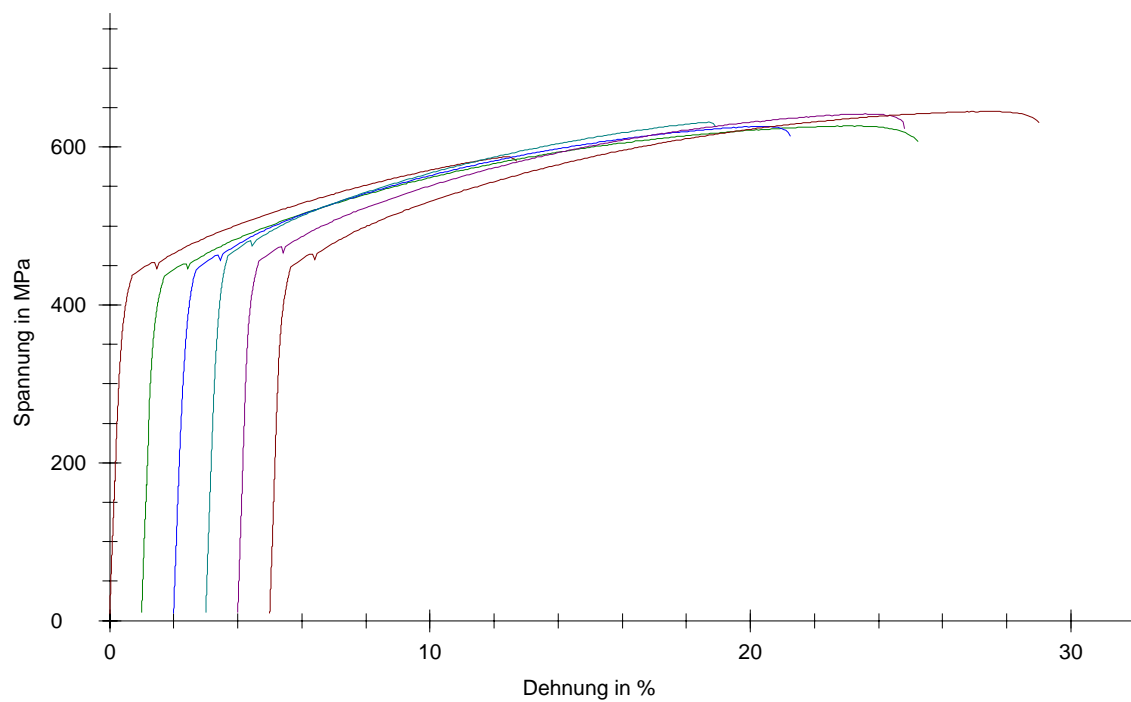
Tab. 40.22: Messprotokoll des Zugversuchs Serie 22

Material : PontoLloyd L **Gießmaschine** : Nautilus T
Chargen – Nr. : 127900 **Prüfnorm** : DIN EN 10002-1

Ergebnisse:

Nr	EMod GPa	Rp 0.2 MPa	Rm MPa	Bruchdehnung %	Durchmesser d0 mm
max		---		---	
min		250,00		3,00	
1	99,78	423,37	587,96	12,71	3,02
2	98,68	421,96	626,83	24,25	3,02
3	105,04	427,38	626,13	19,26	3,02
4	110,17	446,68	631,64	15,92	3
5	119,47	440,14	642,14	20,82	3
6	119,13	431,50	645,22	24,02	3

Seriengrafik:



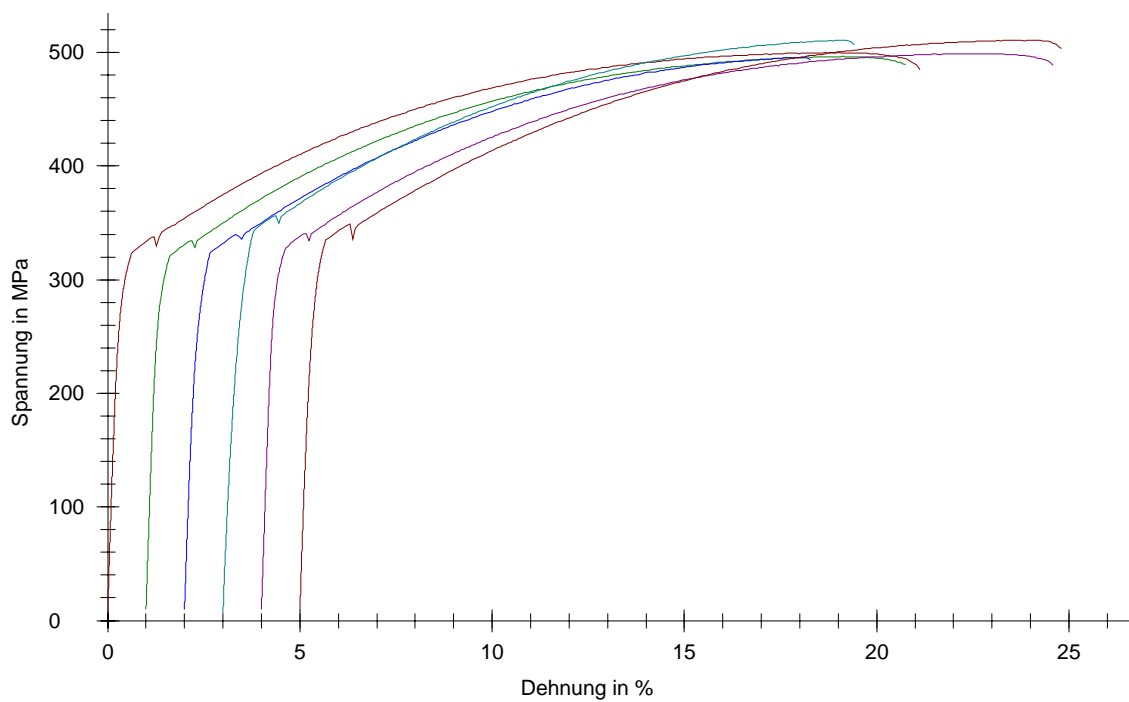
Tab. 40.23: Messprotokoll des Zugversuchs Serie 23

Material : BioPlatinLloyd **Gießmaschine** : Nautilus T
Chargen – Nr. : 128580 **Prüfnorm** : DIN EN 10002-1

Ergebnisse:

Nr	EMod GPa	Rp 0.2 MPa	Rm MPa	Bruchdehnung %	Durchmesser d0 mm
max		---		---	
min		250,00		3,00	
1	88,41	311,95	499,84	21,15	3,02
2	91,06	308,78	496,47	19,77	3,02
3	75,76	309,52	495,49	16,31	3,03
4	59,22	329,63	510,95	16,46	3,01
5	93,48	316,72	498,99	20,60	3,05
6	78,64	323,12	510,72	19,83	3,02

Seriengrafik:



Tab. 40.24: Messprotokoll des Zugversuchs Serie 24

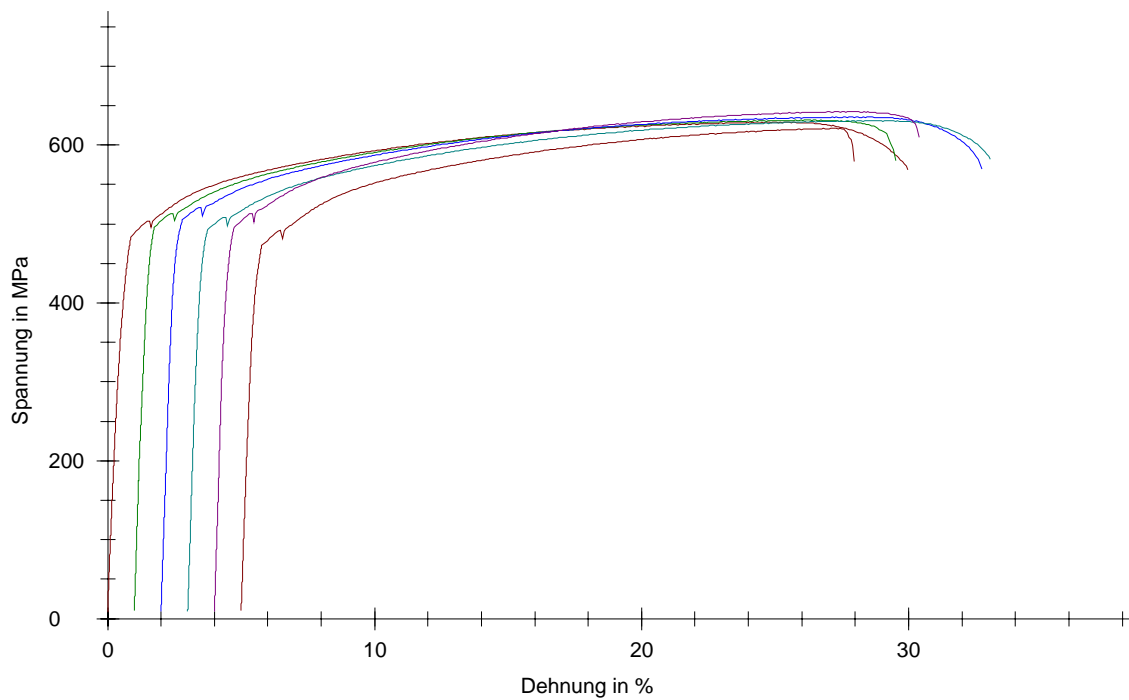
Material : PlatinLloyd 100 **Gießmaschine** : Nautilus T

Chargen – Nr. : 128790 **Prüfnorm** : DIN EN 10002-1

Ergebnisse:

Nr	EMod GPa	Rp 0.2 MPa	Rm MPa	Bruchdehnung %	Durchmesser d0 mm
max		---		---	
min		250,00		3,00	
1	77,86	460,82	628,98	29,99	3,03
2	103,06	478,21	631,80	28,52	3,02
3	96,79	491,61	635,61	30,75	2,99
4	107,26	476,50	631,07	30,06	3
5	109,27	477,92	642,45	26,39	2,99
6	92,64	454,09	621,26	22,98	3,01

Seriengrafik:



Tab. 40.25: Messprotokoll des Zugversuchs Serie 25

Probe	Beurteilung
1	ohne Besonderheiten
2	punktförmiger Einschluss im Randbereich
3	langer linienförmiger Einschluss im Randbereich
4	schräg gebrochen mit zwei punktförmigen Einschlüssen im Randbereich
5	linienförmiger Luncker im Randbereich
6	ohne Besonderheiten

Tab. 41.1: Lichtmikroskopische Untersuchung der Bruchfläche Serie 1
BioPontoStar vergossen mit Fundor

Probe	Beurteilung
1	Einschluss im Randbereich
2	Luncker im Randbereich
3	ohne Besonderheiten
4	Einschluss im Randbereich
5	kleiner Luncker im Randbereich
6	großer, langer Luncker vom Rand bis zum Zentrum

Tab. 41.2: Lichtmikroskopische Untersuchung der Bruchfläche Serie 2
PontoLloyd G vergossen mit Fundor

Probe	Beurteilung
1	große Blasen in Randbereich und Zentrum
2	große Blasen und Luncker ubiquitär
3	große Blasen und Luncker ubiquitär
4	kleine Bläschen
5	ohne Besonderheiten
6	ohne Besonderheiten

Tab. 41.3: Lichtmikroskopische Untersuchung der Bruchfläche Serie 3
PontoLloyd L vergossen mit Fundor

Probe	Beurteilung
1	große Blasen in Randbereich und Zentrum
2	große Blasen und Lunker ubiquitär
3	große Blasen und Lunker ubiquitär
4	kleine Bläschen
5	ohne Besonderheiten
6	ohne Besonderheiten

Tab. 41.4: Lichtmikroskopische Untersuchung der Bruchfläche Serie 4
PlatinLloyd vergossen mit Fundor

Probe	Beurteilung
1	kleinste Lunker ubiquitär
2	ohne Besonderheiten
3	ohne Besonderheiten
4	ohne Besonderheiten
5	großer Lunker im Randbereich
6	ohne Besonderheiten

Tab. 41.5: Lichtmikroskopische Untersuchung der Bruchfläche Serie 5
PlatinLloyd 100 vergossen mit Fundor

Probe	Beurteilung
1	kleinster Lunker zentral
2	ohne Besonderheiten
3	ohne Besonderheiten
4	Lunker im Randbereich
5	großer, runder Einschluss im Randbereich
6	ohne Besonderheiten

Tab. 41.6: Lichtmikroskopische Untersuchung der Bruchfläche Serie 6
BioPontoStar vergossen mit Fornax G

Probe	Beurteilung
1	großer linienförmiger Lunker im Randbereich
2	mehrere Lunkerketten im Randbereich
3	mehrere Lunkerketten im Randbereich
4	großer linienförmiger Lunker im Randbereich
5	mehrere kleine Lunker im Randbereich
6	mehrere kleine Lunker im Randbereich

Tab. 41.7: Lichtmikroskopische Untersuchung der Bruchfläche Serie 7
PontoLloyd G vergossen mit Fornax G

Probe	Beurteilung
1	ohne Besonderheiten
2	ohne Besonderheiten
3	ohne Besonderheiten
4	ohne Besonderheiten
5	ohne Besonderheiten
6	ohne Besonderheiten

Tab. 41.8: Lichtmikroskopische Untersuchung der Bruchfläche Serie 8
PontoLloyd L vergossen mit Fornax G

Probe	Beurteilung
1	ohne Besonderheiten
2	riesiger Lunker zentral
3	ohne Besonderheiten
4	ohne Besonderheiten
5	riesiger Lunker zentral
6	ohne Besonderheiten

Tab. 41.9: Lichtmikroskopische Untersuchung der Bruchfläche Serie 9
BioPlatinLloyd vergossen mit Fornax G

Probe	Beurteilung
1	ohne Besonderheiten
2	riesiger Lunker vom Randbereich bis zum Zentrum
3	riesiger Lunker vom Randbereich bis zum Zentrum
4	riesiger Lunker vom Randbereich bis zum Zentrum
5	großer Lunker im Randbereich
6	großer Lunker im Randbereich

Tab. 41.10: Lichtmikroskopische Untersuchung der Bruchfläche Serie 10
PlatinLloyd 100 vergossen mit Fornax G

Probe	Beurteilung
1	linienförmiger Lunker im Randbereich
2	ohne Besonderheiten
3	ohne Besonderheiten
4	kleinster Einschluss im Randbereich
5	ohne Besonderheiten
6	kleinster Lunker zentral

Tab. 41.11: Lichtmikroskopische Untersuchung der Bruchfläche Serie 11
BioPontoStar vergossen mit Fornax T

Probe	Beurteilung
1	großer Lunker im Randbereich
2	mehrere kleine Lunker im Randbereich
3	mehrere kleine Lunker im Randbereich
4	großer Lunker im Randbereich
5	großer Lunker im Randbereich
6	kleiner Lunker im Randbereich

Tab. 41.12: Lichtmikroskopische Untersuchung der Bruchfläche Serie 12
PontoLloyd G vergossen mit Fornax T

Probe	Beurteilung
1	Lunker im Randbereich
2	ohne Besonderheiten
3	kleine Lunker im Randbereich
4	kleine Lunker im Randbereich
5	ohne Besonderheiten
6	Lunker im Randbereich

Tab. 41.13: Lichtmikroskopische Untersuchung der Bruchfläche Serie 13
PontoLloyd L vergossen mit Fornax T

Probe	Beurteilung
1	ohne Besonderheiten
2	ohne Besonderheiten
3	riesiger Lunker vom Randbereich bis zum Zentrum
4	ohne Besonderheiten
5	ohne Besonderheiten
6	ohne Besonderheiten

Tab. 41.14: Lichtmikroskopische Untersuchung der Bruchfläche Serie 14
BioPlatinLloyd vergossen mit Fornax T

Probe	Beurteilung
1	großer Lunker im Randbereich
2	großer Lunker im Randbereich
3	großer Lunker im Randbereich
4	großer Lunker im Randbereich
5	großer Lunker im Randbereich
6	großer Lunker im Randbereich

Tab. 41.15: Lichtmikroskopische Untersuchung der Bruchfläche Serie 15
PlatinLloyd 100 vergossen mit Fornax T

Probe	Beurteilung
1	ohne Besonderheiten
2	ohne Besonderheiten
3	Lunker zentral
4	Einschluss zentral
5	ohne Besonderheiten
6	ohne Besonderheiten

Tab. 41.16: Lichtmikroskopische Untersuchung der Bruchfläche Serie 16
BioPontoStar vergossen mit Nautilus MC +

Probe	Beurteilung
1	kleiner Lunker im Randbereich
2	ohne Besonderheiten
3	großer Lunker im Randbereich
4	o.B.
5	o.B.
6	o.B.

Tab. 41.17: Lichtmikroskopische Untersuchung der Bruchfläche Serie 17
PontoLloyd G vergossen mit Nautilus MC +

Probe	Beurteilung
1	ohne Besonderheiten
2	ohne Besonderheiten
3	ohne Besonderheiten
4	ohne Besonderheiten
5	ohne Besonderheiten
6	ohne Besonderheiten

Tab. 41.18: Lichtmikroskopische Untersuchung der Bruchfläche Serie 18
PontoLloyd L vergossen mit Nautilus MC +

Probe	Beurteilung
1	ohne Besonderheiten
2	viele kleine Lunker im Randbereich
3	zwei kleine Lunker zentral
4	kleiner Einschluss im Randbereich
5	ohne Besonderheiten
6	ohne Besonderheiten

Tab. 41.19: Lichtmikroskopische Untersuchung der Bruchfläche Serie 19
BioPlatinLloyd vergossen mit Nautilus MC +

Probe	Beurteilung
1	ohne Besonderheiten
2	ohne Besonderheiten
3	ohne Besonderheiten
4	kleiner Lunker zentral
5	ohne Besonderheiten
6	ohne Besonderheiten

Tab. 41.20: Lichtmikroskopische Untersuchung der Bruchfläche Serie 20
PlatinLloyd 100 vergossen mit Nautilus MC +

Probe	Beurteilung
1	ohne Besonderheiten
2	ohne Besonderheiten
3	kleiner Lunker im Randbereich
4	ohne Besonderheiten
5	ohne Besonderheiten
6	ohne Besonderheiten

Tab. 41.21: Lichtmikroskopische Untersuchung der Bruchfläche Serie 21
BioPontoStar vergossen mit Nautilus T

Probe	Beurteilung
1	ohne Besonderheiten
2	ohne Besonderheiten
3	ohne Besonderheiten
4	Einschluss im Randbereich
5	ohne Besonderheiten
6	sehr großer Einschluss im Randbereich

Tab. 41.22: Lichtmikroskopische Untersuchung der Bruchfläche Serie 22
PontoLloyd G vergossen mit Nautilus T

Probe	Beurteilung
1	großer Einschluss im Randbereich
2	ohne Besonderheiten
3	Einschluss im Randbereich
4	ohne Besonderheiten
5	kleiner Lunker zentral
6	ohne Besonderheiten

Tab. 41.23: Lichtmikroskopische Untersuchung der Bruchfläche Serie 23
PontoLloyd L vergossen mit Nautilus T

Probe	Beurteilung
1	ohne Besonderheiten
2	ohne Besonderheiten
3	linienförmiger Einschluss im Randbereich
4	kleiner Lunker im Randbereich
5	ohne Besonderheiten
6	Einschluss im Randbereich

Tab. 41.24: Lichtmikroskopische Untersuchung der Bruchfläche Serie 24
BioPlatinLloyd vergossen mit Nautilus T

Probe	Beurteilung
1	ohne Besonderheiten
2	kleiner Lunker im Randbereich
3	kleiner Lunker zentral
4	kleiner Lunker im Randbereich
5	kleine Lunker ubiquitär
6	kleine Lunker im Randbereich

Tab. 41.25: Lichtmikroskopische Untersuchung der Bruchfläche Serie 25

PlatinLloyd 100 vergossen mit Nautilus T

Serie	Legierung	Gussystem	1.Meßpunkt	2.Meßpunkt	3.Meßpunkt	Mittelwert
1	BioPontoStar	Fundor	197	197	197	197
2	PontoLloyd G	Fundor	175	168	183	175,3
3	PontoLloyd L	Fundor	165	169	144,9	159,6
4	BioPlatinLloyd	Fundor	137	140	120	133
5	PlatinLloyd 100	Fundor	204	204	204	204
6	BioPontoStar	Fornax G	195	282	282	253
7	PontoLloyd G	Fornax G	188	188	177	184
8	PontoLloyd L	Fornax G	178	167	193	179,3
9	BioPlatinLloyd	Fornax G	165	168	161	164,6
10	PlatinLloyd 100	Fornax G	204	204	204	204
11	BioPontoStar	Fornax T	199	192	197	196
12	PontoLloyd G	Fornax T	190	183	185	186
13	PontoLloyd L	Fornax T	164	154,5	167	161,8
14	BioPlatinLloyd	Fornax T	155,7	153,2	153,2	154
15	PlatinLloyd 100	Fornax T	201	204	201	202
16	BioPontoStar	Nautilus MC+	162	160	185	169
17	PontoLloyd G	Nautilus MC+	187	162	171	173
18	PontoLloyd L	Nautilus MC+	177	169	187	177,6
19	BioPlatinLloyd	Nautilus MC+	140	130	135	135
20	PlatinLloyd 100	Nautilus MC+	221	215	222	219,3
21	BioPontoStar	Nautilus T	192	183	185	187
22	PontoLloyd G	Nautilus T	187	172	172	177
23	PontoLloyd L	Nautilus T	165	158	165	162,6
24	BioPlatinLloyd	Nautilus T	147	148	148	148
25	PlatinLloyd 100	Nautilus T	204	201	197	200,6

Tab. 42: Ergebnisse der Härtemessung

Serie	Gusssystem	Mittelwert [MPa]	Stdadw. [MPa]	Varkoeff. [%]	Minimum [MPa]	Maximum [MPa]	Medianwert [MPa]
1	Fundor	523,42	11,01	2,10	502,90	532,90	525,55
6	Fornax G	483,64	48,16	9,96	412,95	560,19	485,01
11	Fornax T	497,40	19,11	3,84	471,68	524,72	498,30
16	Nautilus MC+	472,69	21,73	4,60	449,84	505,60	470,31
21	Nautilus T	488,68	21,33	4,36	459,03	508,05	494,84

Tab. 43.1: Messwertstatistik zur 0,2%-Dehngrenze für BioPontoStar

Serie	Gusssystem	Mittelwert [MPa]	Stdadw. [MPa]	Varkoeff. [%]	Minimum [MPa]	Maximum [MPa]	Medianwert [MPa]
1	Fundor	630,48	23,16	3,67	585,34	649,44	636,48
6	Fornax G	602,62	28,22	4,68	580,16	651,45	590,76
11	Fornax T	614,50	10,17	1,65	604,02	631,57	612,64
16	Nautilus MC+	605,37	16,65	2,75	594,88	638,22	597,92
21	Nautilus T	621,52	9,96	1,60	603,45	632,24	622,20

Tab. 43.2 Messwertstatistik zur Zugfestigkeit für BioPontoStar

Serie	Gusssystem	Mittelwert [%]	Stdadw. [%]	Varkoeff. [%]	Minimum [%]	Maximum [%]	Medianwert [%]
1	Fundor	8,37	2,64	31,47	4,44	12,57	8,13
6	Fornax G	8,11	1,89	23,24	5,60	10,36	8,63
11	Fornax T	9,91	0,55	5,57	8,87	10,54	10,01
16	Nautilus MC+	12,16	0,44	3,63	11,49	12,73	12,15
21	Nautilus T	12,35	0,80	6,48	11,10	13,38	12,56

Tab. 43.3: Messwertstatistik zur Bruchdehnung für BioPontoStar

Serie	Gusssystem	Mittelwert [GPa]	Stdadw. [GPa]	Varkoeff. [%]	Minimum [GPa]	Maximum [GPa]	Medianwert [GPa]
1	Fundor	93,59	6,95	7,43	86,26	105,66	92,53
6	Fornax G	82,55	12,44	15,06	64,16	92,02	89,58
11	Fornax T	87,49	9,14	10,44	69,66	94,62	89,45
16	Nautilus MC+	88,07	6,86	7,78	78,39	94,44	90,54
21	Nautilus T	97,35	12,18	12,51	86,00	119,81	93,12

Tab. 43.4 Messwertstatistik zum Elastizitätsmodul für BioPontoStar

Serie	Gusssystem	Mittelwert [HV0,05]	Minimum [HV0,05]	Maximum [HV0,05]	Medianwert [HV0,05]
1	Fundor	197	197	197	197
6	Fornax G	253	195	282	282
11	Fornax T	196	192	199	197
16	Nautilus MC+	169	160	185	162
21	Nautilus T	187	183	192	185

Tab. 44: Messwertstatistik zur Vickershärte für BioPontoStar

Serie	Gusssystem	Mittelwert [MPa]	Stdaw. [MPa]	Varkoeff. [%]	Minimum [MPa]	Maximum [MPa]	Medianwert [MPa]
2	Fundor	469,16	13,62	2,90	443,61	481,66	472,50
7	Fornax G	451,00	14,84	3,29	427,08	469,03	450,07
12	Fornax T	473,95	16,08	3,39	446,25	495,01	473,78
17	Nautilus MC+	459,38	12,58	2,74	446,35	478,38	456,14
22	Nautilus T	463,78	13,56	2,92	446,47	479,58	462,86

Tab. 45.1: Messwertstatistik zur 0,2%-Dehngrenze für PontoLloyd G

Serie	Gusssystem	Mittelwert [MPa]	Stdaw. [MPa]	Varkoeff. [%]	Minimum [MPa]	Maximum [MPa]	Medianwert [MPa]
2	Fundor	583,87	13,02	2,23	568,53	601,44	581,41
7	Fornax G	576,30	9,79	1,70	565,04	593,02	574,14
12	Fornax T	595,45	6,56	1,10	587,99	606,88	593,68
17	Nautilus MC+	540,97	37,75	6,88	477,58	579,71	545,96
22	Nautilus T	584,84	14,63	2,50	558,90	598,68	587,37

Tab. 45.2: Messwertstatistik zur Zugfestigkeit für PontoLloyd G

Serie	Gusssystem	Mittelwert [%]	Stdaw. [%]	Varkoeff. [%]	Minimum [%]	Maximum [%]	Medianwert [%]
2	Fundor	10,34	1,38	13,33	8,60	12,18	10,75
7	Fornax G	11,03	1,62	14,69	8,99	13,27	10,83
12	Fornax T	10,46	0,78	7,44	9,51	11,25	10,71
17	Nautilus MC+	7,09	4,00	66,38	4,36	12,15	5,09
22	Nautilus T	11,69	2,63	22,48	7,87	15,02	12,06

Tab. 45.3: Messwertstatistik zur Bruchdehnung für PontoLloyd G

Serie	Gusssystem	Mittelwert [GPa]	Stdaw. [GPa]	Varkoeff. [%]	Minimum [GPa]	Maximum [GPa]	Medianwert [GPa]
2	Fundor	89,16	10,93	12,26	75,05	100,32	90,04
7	Fornax G	96,75	3,98	4,11	92,20	103,49	95,66
12	Fornax T	99,44	6,79	6,83	92,40	110,67	98,31
17	Nautilus MC+	88,70	9,88	11,14	70,86	97,80	91,71
22	Nautilus T	96,81	11,35	11,72	83,43	111,94	97,68

Tab. 45.4: Messwertstatistik zum Elastizitätsmodul für PontoLloyd G

Serie	Gusssystem	Mittelwert [HV0,05]	Minimum [HV0,05]	Maximum [HV0,05]	Medianwert [HV0,05]
2	Fundor	175,30	168	183	175
7	Fornax G	184	177	188	188
12	Fornax T	186	183	190	185
17	Nautilus MC+	173	162	187	171
22	Nautilus T	177	172	187	172

Tab. 46: Messwertstatistik zur Vickershärte für PontoLloyd G

Serie	Gusssystem	Mittelwert [MPa]	Stdadw. [MPa]	Varkoeff. [%]	Minimum [MPa]	Maximum [MPa]	Medianwert [MPa]
3	Fundor	416,20	27,74	6,67	382,07	445,92	424,03
8	Fornax G	411,76	19,15	4,65	385,81	429,47	414,40
13	Fornax T	420,67	20,42	4,85	394,39	445,55	423,67
18	Nautilus MC+	446,18	9,87	2,21	430,79	459,66	447,03
23	Nautilus T	431,84	9,78	2,27	421,96	446,68	429,44

Tab. 47.1: Messwertstatistik zur 0,2%-Dehngrenze für PontoLloyd L

Serie	Gusssystem	Mittelwert [MPa]	Stdadw. [MPa]	Varkoeff. [%]	Minimum [MPa]	Maximum [MPa]	Medianwert [MPa]
3	Fundor	551,09	96,88	17,58	397,87	631,02	593,18
8	Fornax G	538,54	34,91	6,48	496,00	578,54	543,13
13	Fornax T	587,56	17,95	3,05	560,70	605,71	590,93
18	Nautilus MC+	638,55	7,41	1,16	630,56	650,57	637,76
23	Nautilus T	626,65	20,53	3,28	587,96	645,22	629,24

Tab. 47.2: Messwertstatistik zur Zugfestigkeit für PontoLloyd L

Serie	Gusssystem	Mittelwert [%]	Stdadw. [%]	Varkoeff. [%]	Minimum [%]	Maximum [%]	Medianwert [%]
3	Fundor	7,23	6,47	89,48	4,50	15,84	11,20
8	Fornax G	8,03	2,97	37,64	4,81	11,47	8,32
13	Fornax T	12,11	1,73	14,27	10,33	15,20	11,87
18	Nautilus MC+	18,40	1,05	5,69	17,37	20,04	18,12
23	Nautilus T	19,50	4,55	23,36	12,71	24,25	20,04

Tab. 47.3: Messwertstatistik zur Bruchdehnung für PontoLloyd L

Serie	Gusssystem	Mittelwert [GPa]	Stdadw. [GPa]	Varkoeff. [%]	Minimum [GPa]	Maximum [GPa]	Medianwert [GPa]
3	Fundor	104,02	14,23	16,12	95,79	109,36	103,72
8	Fornax G	110,95	26,23	23,64	93,13	162,24	98,82
13	Fornax T	103,29	26,42	25,58	70,22	138,43	106,98
18	Nautilus MC+	112,46	10,01	8,90	96,67	119,96	114,29
23	Nautilus T	108,71	9,17	8,43	98,68	119,47	107,61

Tab. 47.4: Messwertstatistik zum Elastizitätsmodul für PontoLloyd L

Serie	Gusssystem	Mittelwert [HV0,05]	Minimum [HV0,05]	Maximum [HV0,05]	Medianwert [HV0,05]
3	Fundor	159,60	144,90	169	165
8	Fornax G	179,30	167	193	178
13	Fornax T	161,80	154,50	167	164
18	Nautilus MC+	177,60	169	169	169
23	Nautilus T	162,60	158	158	158

Tab. 48: Messwertstatistik zur Vickershärte für PontoLloyd L

Serie	Gusssystem	Mittelwert [MPa]	Stdadw. [MPa]	Varkoeff. [%]	Minimum [MPa]	Maximum [MPa]	Medianwert [MPa]
4	Fundor	304,23	11,53	3,79	286,14	316,17	306,54
9	Fornax G	334,04	7,63	2,28	323,95	342,37	334,93
14	Fornax T	310,42	5,54	1,78	303,95	317,83	311,34
19	Nautilus MC+	308,91	5,02	1,63	303,95	316,59	308,71
24	Nautilus T	316,62	8,31	2,62	308,78	329,63	314,34

Tab. 49.1: Messwertstatistik zur 0,2%-Dehngrenze für BioPlatinLloyd

Serie	Gusssystem	Mittelwert [MPa]	Stdadw. [MPa]	Varkoeff. [%]	Minimum [MPa]	Maximum [MPa]	Medianwert [MPa]
4	Fundor	472,51	17,27	3,66	445,16	490,69	473,40
9	Fornax G	437,06	103,23	23,62	300,48	515,24	496,10
14	Fornax T	451,11	72,85	16,15	303,48	496,62	476,37
19	Nautilus MC+	395,76	72,72	18,38	257,11	466,49	419,92
24	Nautilus T	502,08	6,97	1,39	495,49	510,95	499,42

Tab. 49.2: Messwertstatistik zur Zugfestigkeit für BioPlatinLloyd

Serie	Gusssystem	Mittelwert [%]	Stdadw. [%]	Varkoeff. [%]	Minimum [%]	Maximum [%]	Medianwert [%]
4	Fundor	14,08	2,41	17,13	9,54	16,40	14,22
9	Fornax G	12,96	6,47	73,67	12,51	13,72	12,81
14	Fornax T	13,22	5,25	47,34	12,39	13,69	13,35
19	Nautilus MC+	6,77	3,36	58,98	3,98	10,44	6,36
24	Nautilus T	19,02	2,10	11,06	16,31	21,15	19,80

Tab. 49.3: Messwertstatistik zur Bruchdehnung für BioPlatinLloyd

Serie	Gusssystem	Mittelwert [GPa]	Stdadw. [GPa]	Varkoeff. [%]	Minimum [GPa]	Maximum [GPa]	Medianwert [GPa]
4	Fundor	84,69	11,30	13,35	72,45	103,04	83,55
9	Fornax G	80,07	7,13	8,90	67,64	86,84	82,55
14	Fornax T	78,35	12,56	16,03	60,34	97,27	75,84
19	Nautilus MC+	85,56	4,07	4,76	81,95	91,05	84,55
24	Nautilus T	81,09	12,80	15,78	59,22	93,48	83,53

Tab. 49.3: Messwertstatistik zum Elastizitätsmodul für BioPlatinLloyd

Serie	Gusssystem	Mittelwert [HV0,05]	Minimum [HV0,05]	Maximum [HV0,05]	Medianwert [HV0,05]
4	Fundor	133	120	140	137
9	Fornax G	164,60	161	168	165
14	Fornax T	154	153,20	155,70	153,20
19	Nautilus MC+	135	130	140	135
24	Nautilus T	148	147	148	148

Tab. 50: Messwertstatistik zur Vickershärte für BioPlatinLloyd

Serie	Gusssystem	Mittelwert [MPa]	Stdaw. [MPa]	Varkoeff. [%]	Minimum [MPa]	Maximum [MPa]	Medianwert [MPa]
5	Fundor	474,41	11,36	2,40	461,60	487,86	473,25
10	Fornax G	477,41	10,44	2,19	466,08	493,21	478,08
15	Fornax T	475,51	8,32	1,75	465,68	489,56	475,64
20	Nautilus MC+	485,73	14,96	3,08	466,81	504,35	484,32
25	Nautilus T	473,19	13,53	2,86	454,09	491,61	477,21

Tab. 51.1: Messwertstatistik zur 0,2%-Dehngrenze für PlatinLloyd 100

Serie	Gusssystem	Mittelwert [MPa]	Stdaw. [MPa]	Varkoeff. [%]	Minimum [MPa]	Maximum [MPa]	Medianwert [MPa]
5	Fundor	623,35	11,37	1,82	601,50	633,28	626,70
10	Fornax G	551,65	79,73	14,45	403,26	630,91	558,71
15	Fornax T	576,21	24,80	4,30	545,92	620,04	574,79
20	Nautilus MC+	639,56	9,69	1,52	630,38	657,04	637,05
25	Nautilus T	631,86	7,04	1,11	621,26	642,45	631,44

Tab. 51.2: Messwertstatistik zur Zugfestigkeit für PlatinLloyd 100

Serie	Gusssystem	Mittelwert [%]	Stdaw. [%]	Varkoeff. [%]	Minimum [%]	Maximum [%]	Medianwert [%]
5	Fundor	23,35	5,70	24,40	14,60	28,89	25,68
10	Fornax G	12,46	9,83	93,84	5,22	27,54	7,32
15	Fornax T	11,88	4,12	34,64	6,09	18,68	11,68
20	Nautilus MC+	29,29	1,27	4,32	27,67	31,29	29,07
25	Nautilus T	28,11	2,96	10,52	22,98	30,75	29,26

Tab. 51.3: Messwertstatistik zur Bruchdehnung für PlatinLloyd 100

Serie	Gusssystem	Mittelwert [GPa]	Stdaw. [GPa]	Varkoeff. [%]	Minimum [GPa]	Maximum [GPa]	Medianwert [GPa]
5	Fundor	106,26	15,82	14,89	84,00	130,84	104,44
10	Fornax G	89,52	11,38	12,71	69,20	99,55	92,84
15	Fornax T	96,91	6,43	6,64	90,50	106,03	95,95
20	Nautilus MC+	93,69	12,06	12,88	69,48	101,33	97,98
25	Nautilus T	97,81	11,61	11,87	77,86	109,27	99,93

Tab. 51.4: Messwertstatistik zum Elastizitätsmodul für PlatinLloyd 100

Serie	Gusssystem	Mittelwert [HV0,05]	Minimum [HV0,05]	Maximum [HV0,05]	Medianwert [HV0,05]
5	Fundor	204	204	204	204
10	Fornax G	204	204	204	204
15	Fornax T	202	201	204	201
20	Nautilus MC+	219,30	215	222	221
25	Nautilus T	200,60	197	204	201

Tab. 52: Messwertstatistik zur Vickershärte für PlatinLloyd 100

Größenklasse [μm^2]	Fundor	Fornax G	Fornax T	Nautilus MC	Nautilus T
	Relative Häufigkeit in %				
0 - 200	7	4	3	6	7
200 - 400	28	31	31	23	22
400 - 600	24	31	33	26	29
600 - 800	20	17	22	19	22
800 - 1000	12	8	7	14	11
1000 - 1200	7	5	3	8	6
1200 - 1400	3	2	1	3	2

Tab. 53.1: Korngrößenklassen von BioPontoStar in Abhängigkeit
verschiedener Gussysteme

Größenklasse [μm^2]	Fundor	Fornax G	Fornax T	Nautilus MC	Nautilus T
	Relative Häufigkeit in %				
0 - 500	22	16,5	14	11	10
500 - 1000	37	24	35	32	21
1000 - 1500	24	24	35	27	31
1500 - 2000	12	19	9	11	20
2000 - 2500	4	9	5	11	9
2500 - 3000	1	3	0	2	6
3000 - 3500	0	4,5	2	6	2

Tab. 53.2: Korngrößenklassen von PontoLloyd G in Abhängigkeit
verschiedener Gussysteme

Größenklasse [μm^2]	Fundor	Fornax G	Fornax T	Nautilus MC	Nautilus T
	Relative Häufigkeit in %				
700 - 1400	34	22	44	32	17
1400 - 2100	15	22	25	24	14
2100 - 2800	23	23	14	24	17
2800 - 3500	7	13	4	15	17
3500 - 4200	6	10	8	3	6
4200 - 4900	5	3	1	1	17
4900 - 5600	9	7	4	0	20

Tab. 53.3: Korngrößenklassen von PontoLloyd L in Abhängigkeit
verschiedener Gussysteme

Größenklasse [μm^2]	Fundor	Fornax G	Fornax T	Nautilus MC	Nautilus T
	Relative Häufigkeit in %				
500 - 1200	25	21	26	21	22
1200 - 1900	33	15	24	21	20
1900 - 2600	19	8	25	30	15
2600 - 3300	11	6	11	10	20
3300 - 4000	4	3	5	5	7
4000 - 4700	5	4	6	8	7
4700 - 5400	4	2	3	5	8

Tab. 53.4: Korngrößenklassen von BioPlatinLloyd in Abhängigkeit
verschiedener Gussysteme

Größenklasse [μm^2]	Fundor	Fornax G	Fornax T	Nautilus MC	Nautilus T
	Relative Häufigkeit in %				
0 - 1000	31	21	19	7	14
1000 - 2000	20	26	30	20	23
2000 - 3000	18	27	19	19	17
3000 - 4000	8	5	9	14	14
4000 - 5000	8	11	9	19	13
5000 - 6000	8	6	7	12	11
6000 - 7000	8	4	7	7	7

Tab. 53.5: Korngrößenklassen von PlatinLloyd 100 in Abhängigkeit verschiedener Gussysteme